

**PEF 3307**

---

**FLEXÃO PURA**

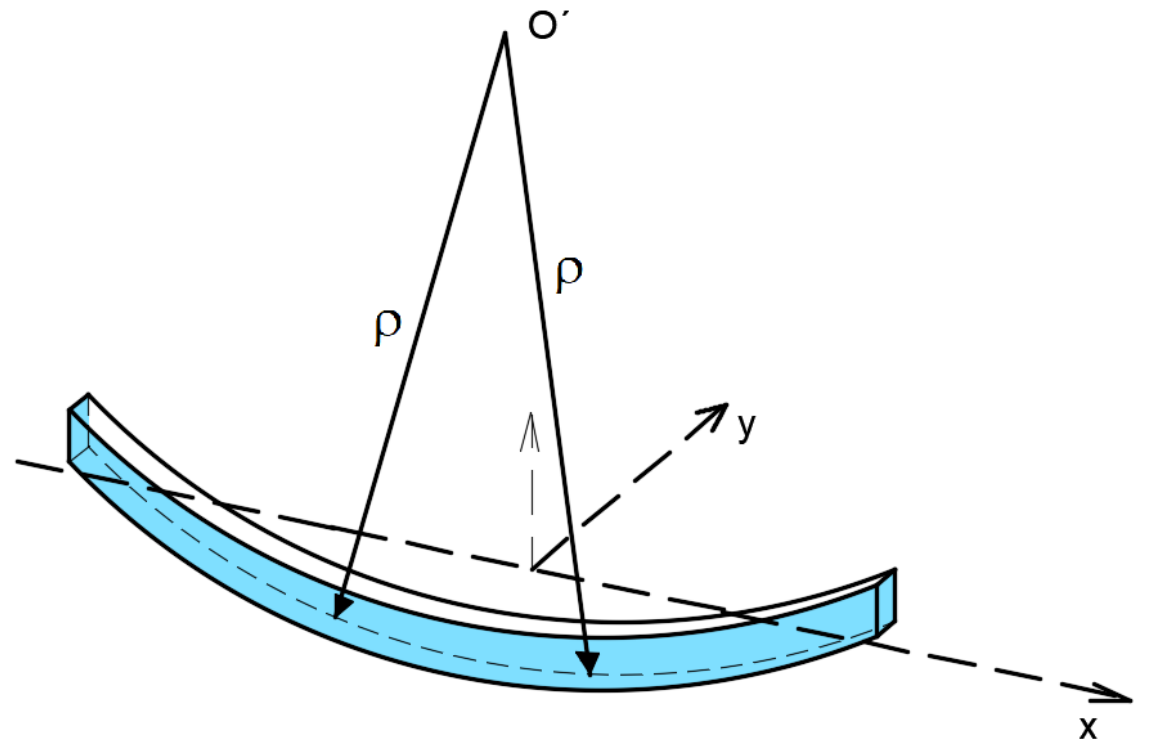
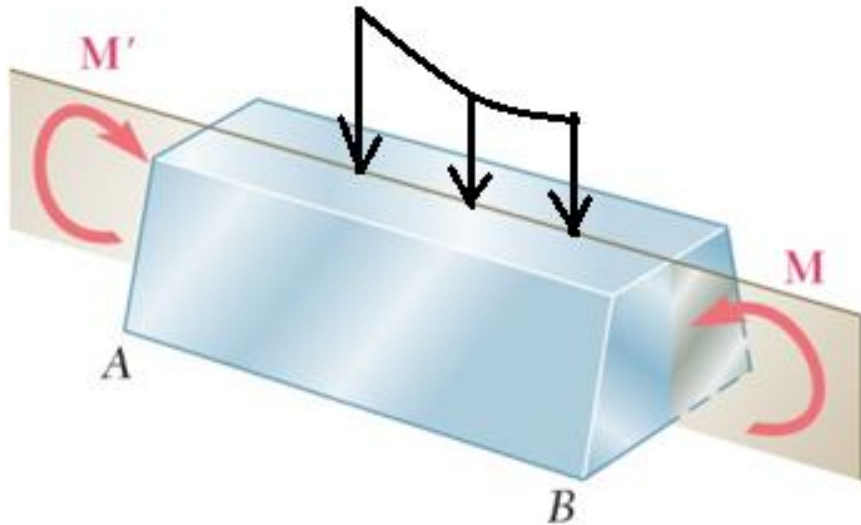
*Valério S. Almeida*  
*Junho/2021*

# Teoria de vigas

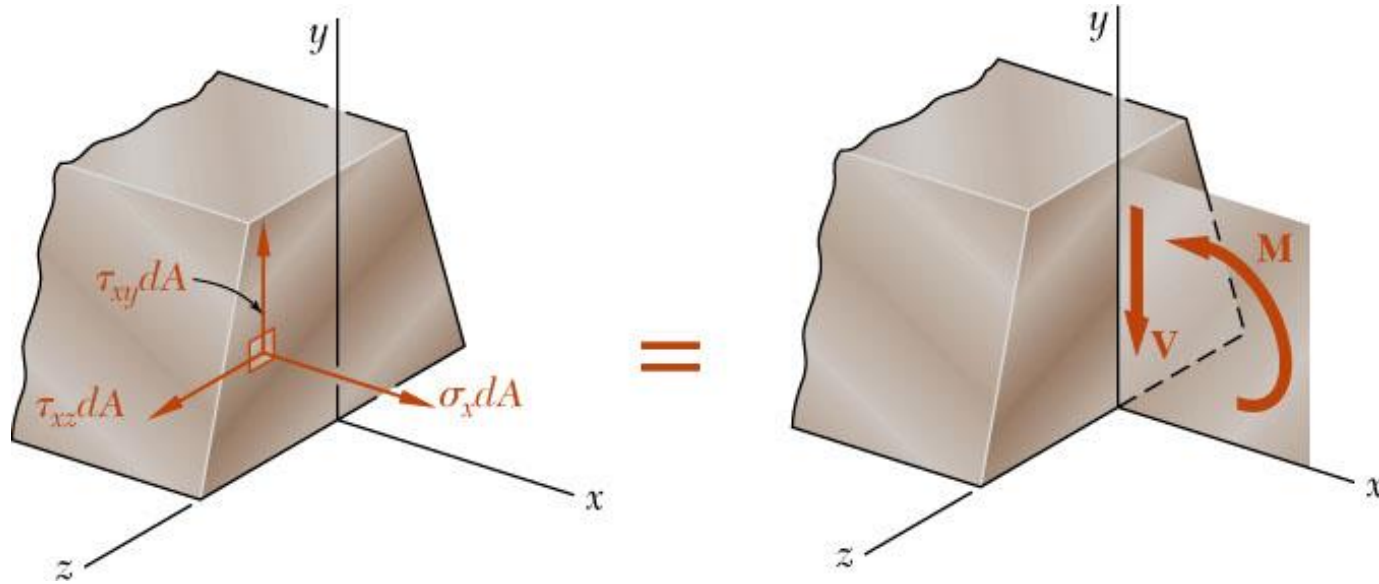
Vigas: Elementos prismáticos

Sujeitos a carregamentos perpendiculares ao seu eixo. Flexão

Flexão: Mudança de curvatura ( $\kappa = 1/\rho$ ) do eixo



# Tipos de solicitações em barras



- Flexão

Pura (normal, oblíqua)

Simplex

Composta

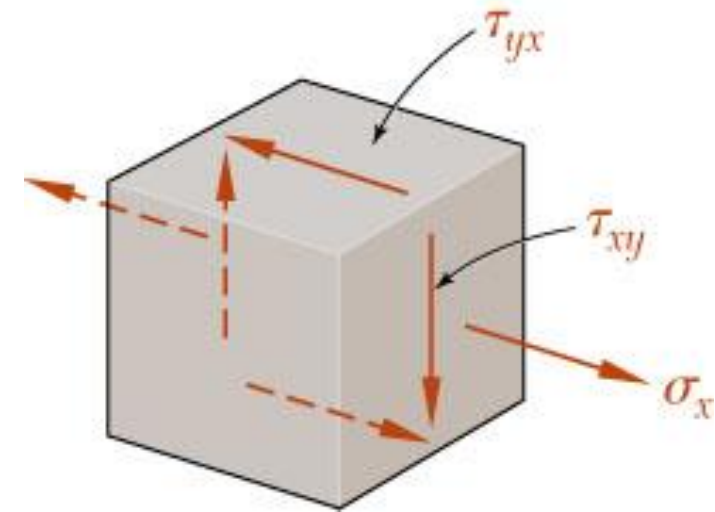
Geral

## *Flexão simples:*

$$F_x = \int \sigma_x dA = 0 \quad M_x = \int (y\tau_{xz} - z\tau_{xy}) dA = 0$$

$$F_y = \int \tau_{xy} dA = -V \quad M_y = \int z\sigma_x dA = 0$$

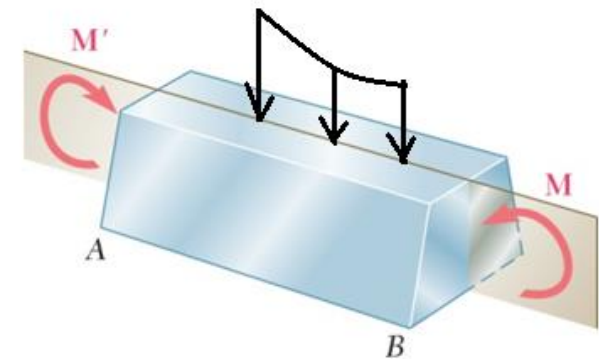
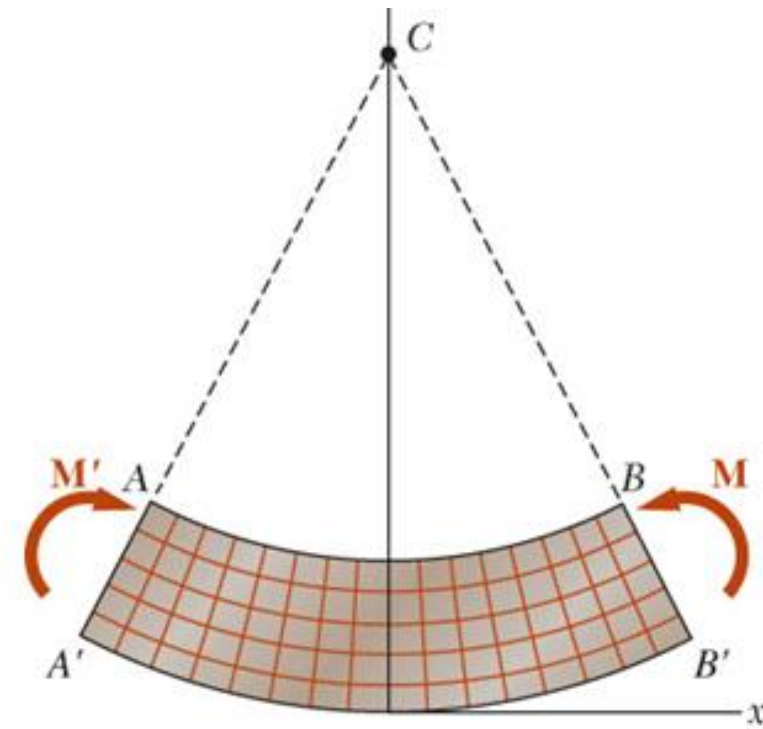
$$F_z = \int \tau_{xz} dA = 0 \quad M_z = \int (-y\sigma_x) = M$$



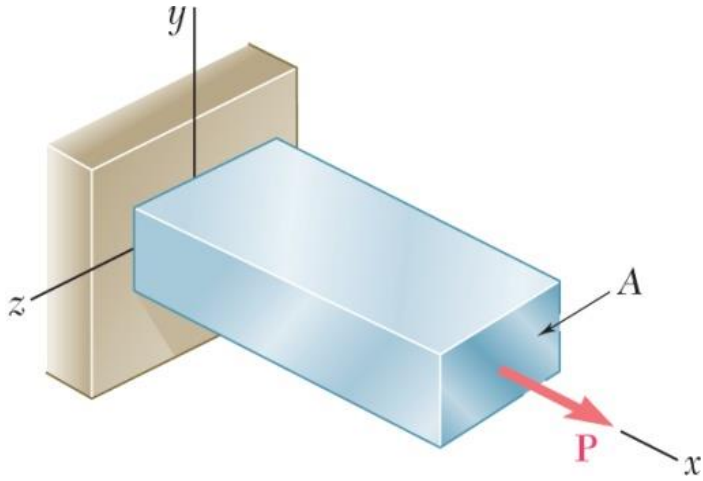
# Teoria de vigas - Hipóteses

- Carregamentos estaticamente aplicados;
- Conservação da planicidade original das ST (durante o processo de deformação);
- Campos pequenos (suaves) de deslocamentos e deformações;
- Flexão em um dos eixos principais de inércia.

\*ST: seção transversal

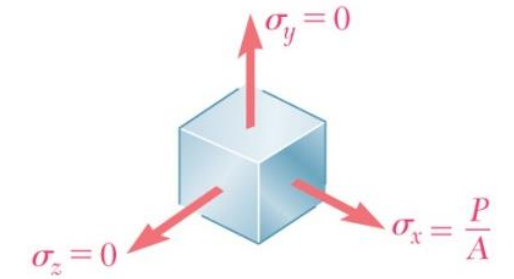


# Coeficiente de Poisson



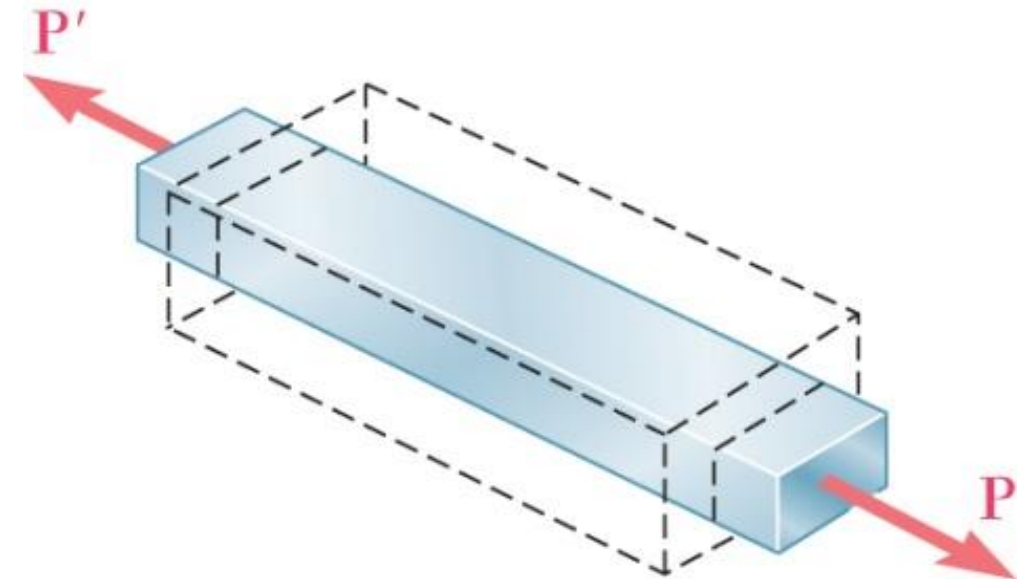
Para o corpo sujeito a força axial em x:  $\varepsilon_x = \frac{\sigma_x}{E}$   $\sigma_y = \sigma_z = 0$

Mede-se que:  $(\varepsilon_y = \varepsilon_z) \neq 0$



Coeficiente de Poisson ( $\nu$ ):

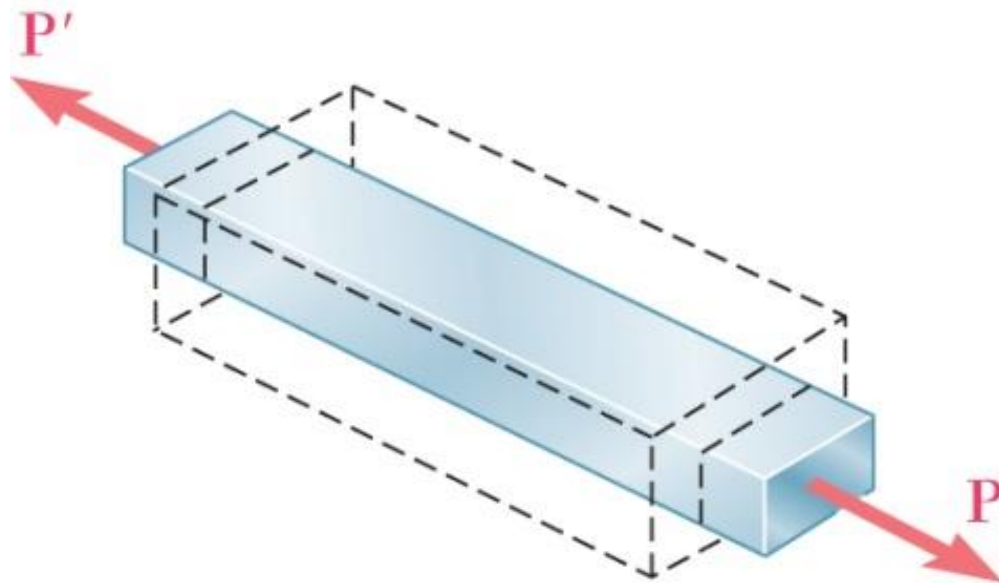
$$\nu = \left| \frac{\text{deformação específica lateral}}{\text{deformação específica axial}} \right| = -\frac{\varepsilon_y}{\varepsilon_x} = -\frac{\varepsilon_z}{\varepsilon_x}$$



Por exemplo:  $\nu = 0,2$

# Teoria de vigas - Hipóteses

- Deformações transversais da ST desprezados (supressão do efeito de Poisson);



*Considera – se, por hipótese:  $\nu = 0$*

# Teoria de vigas

Várias teorias de vigas para representar cinemática das deformações

$$u(x, z) \quad w(x, z) \quad v = 0$$

Teoria de Euler-Bernoulli (TEB)

vigas esbeltas

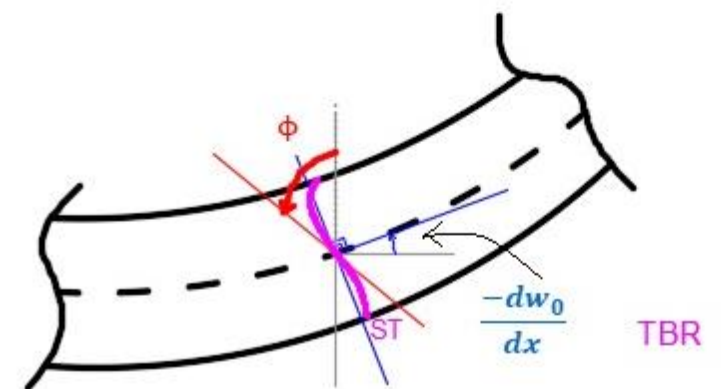
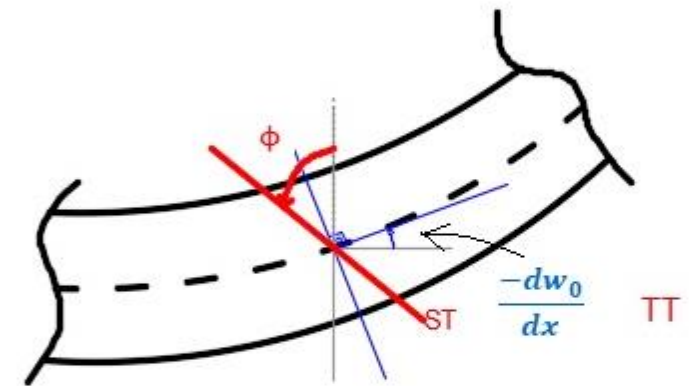
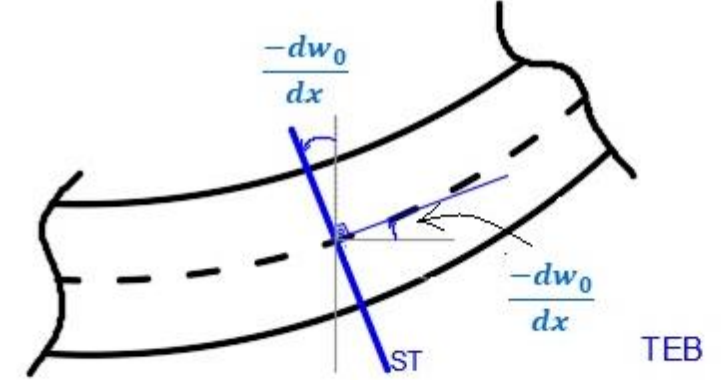
Teoria de Timoshenko (TT)

vigas espessas

Teoria de ordem superior

Bickford [6]: vigas isotrópicas

Reddy [7]: vigas laminadas



# Teoria de vigas

- **Euler-Bernoulli**

ST mantem ortogonal ao eixo neutro durante o processo de flexão. Rotação é a derivada do deslocamento.

Negligencia efeito cortante. Adequado para vigas esbeltas

( $h/L < 0,1$ )

- **Timoshenko**

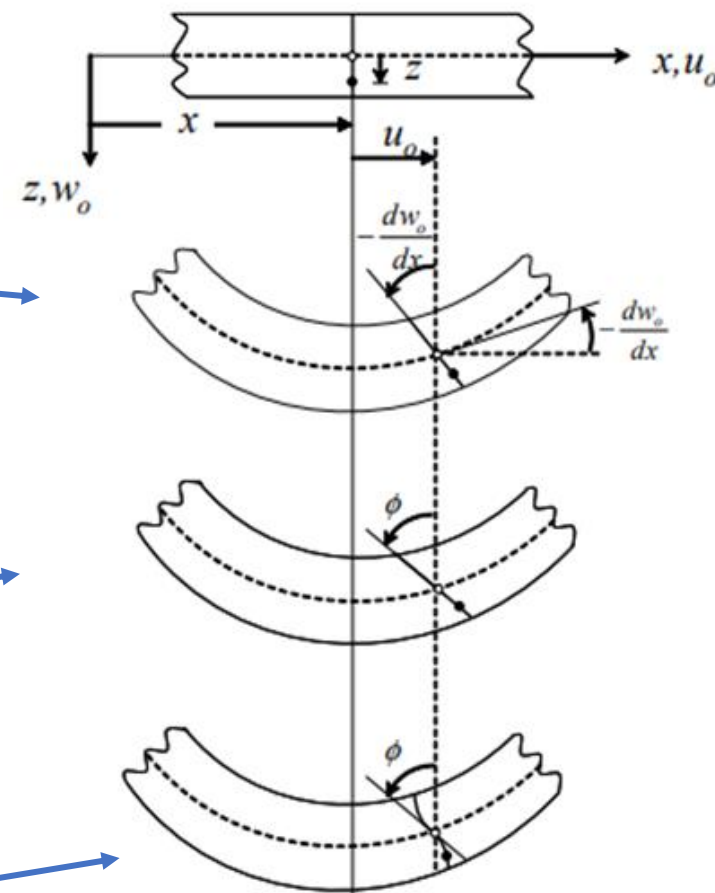
Considera deformação por cisalhamento. ST permanece plana. Rotação é independente do deslocamento da viga.

Adequado para vigas espessas ( $h/L > 0,1$ ).

- **Bickford /Reddy**

Considera deformação por cisalhamento. ST não permanece plana. Modelo mais preciso. Adequado para vigas espessas

( $h/L > 0,1$ ).





# Viga de Euler-Bernoulli - Cinemática

Curvatura e deflexão:  $\kappa = \frac{d\theta/dx}{(1 + \theta^2)^{3/2}}$

Pequenas rotações:

$$\kappa = 1/\rho \quad \kappa = \frac{d\theta}{dx}$$

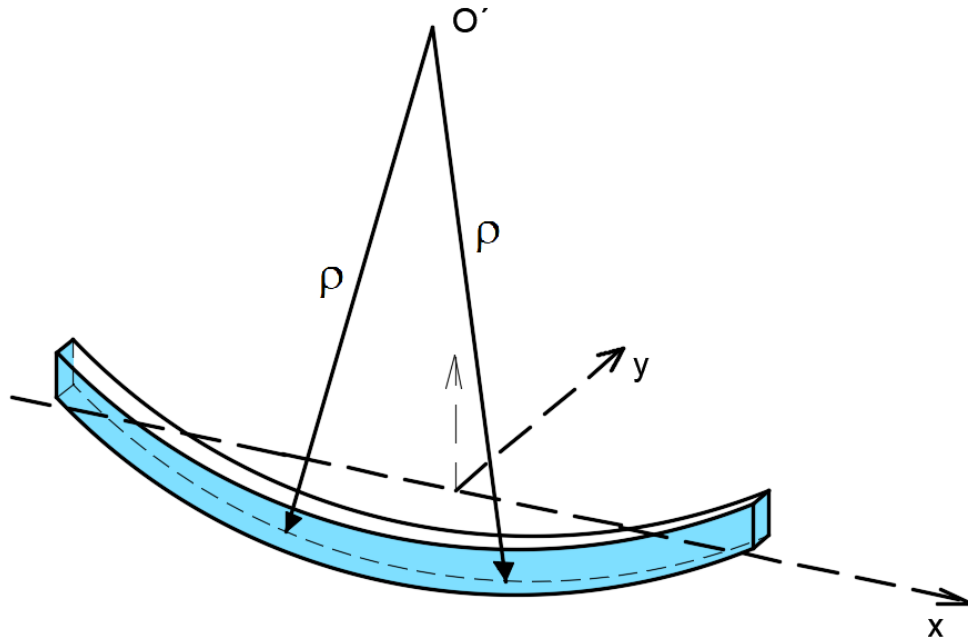
A distorção é dada por:

$$\gamma_{xy} = \frac{\partial u}{\partial y} + \frac{\partial v}{\partial x} = \theta + \frac{\partial v}{\partial x} = \gamma_{xy}$$

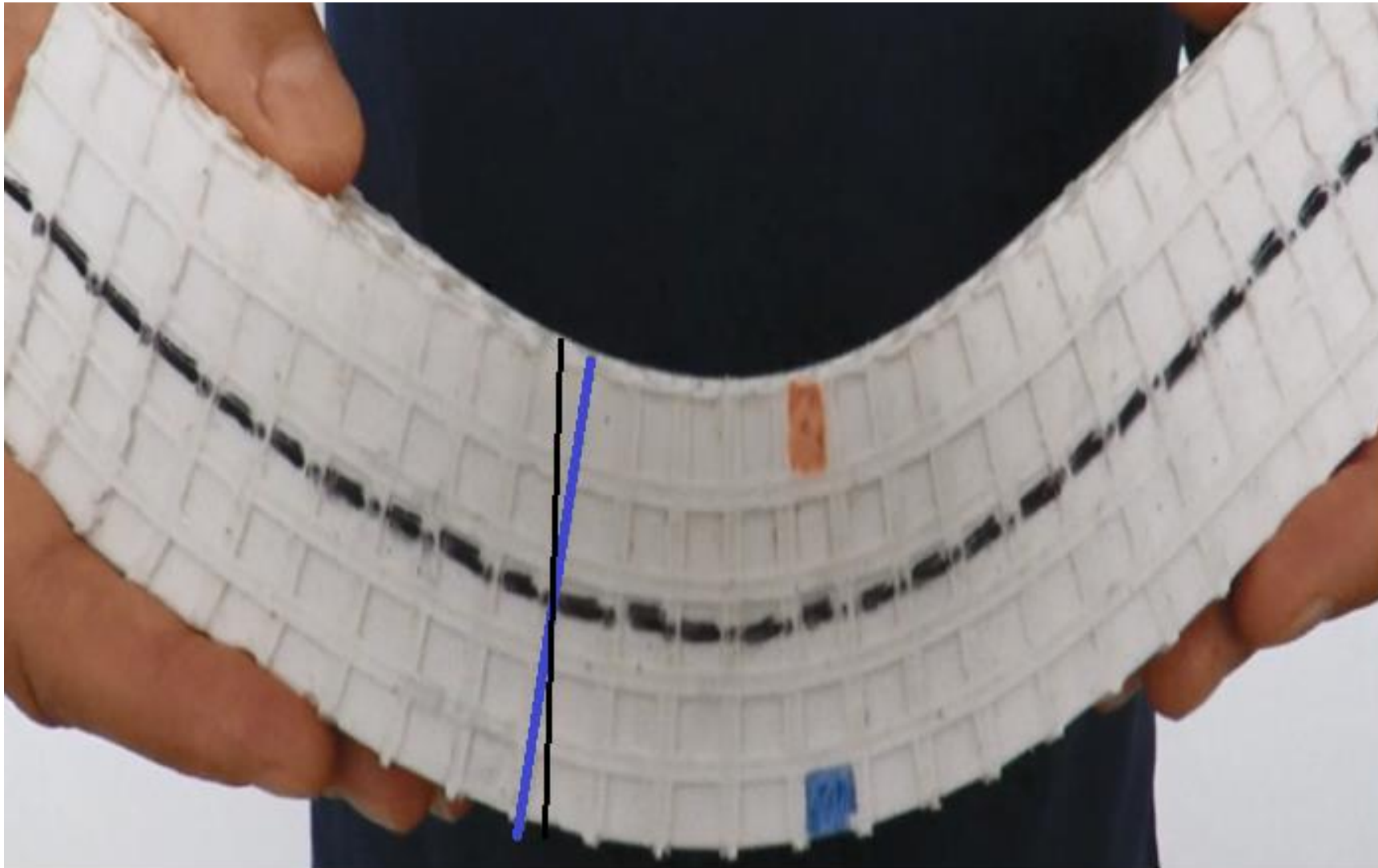
Negligenciando cisalhamento, ou seja, a distorção:

$$\gamma_{xy} = 0$$

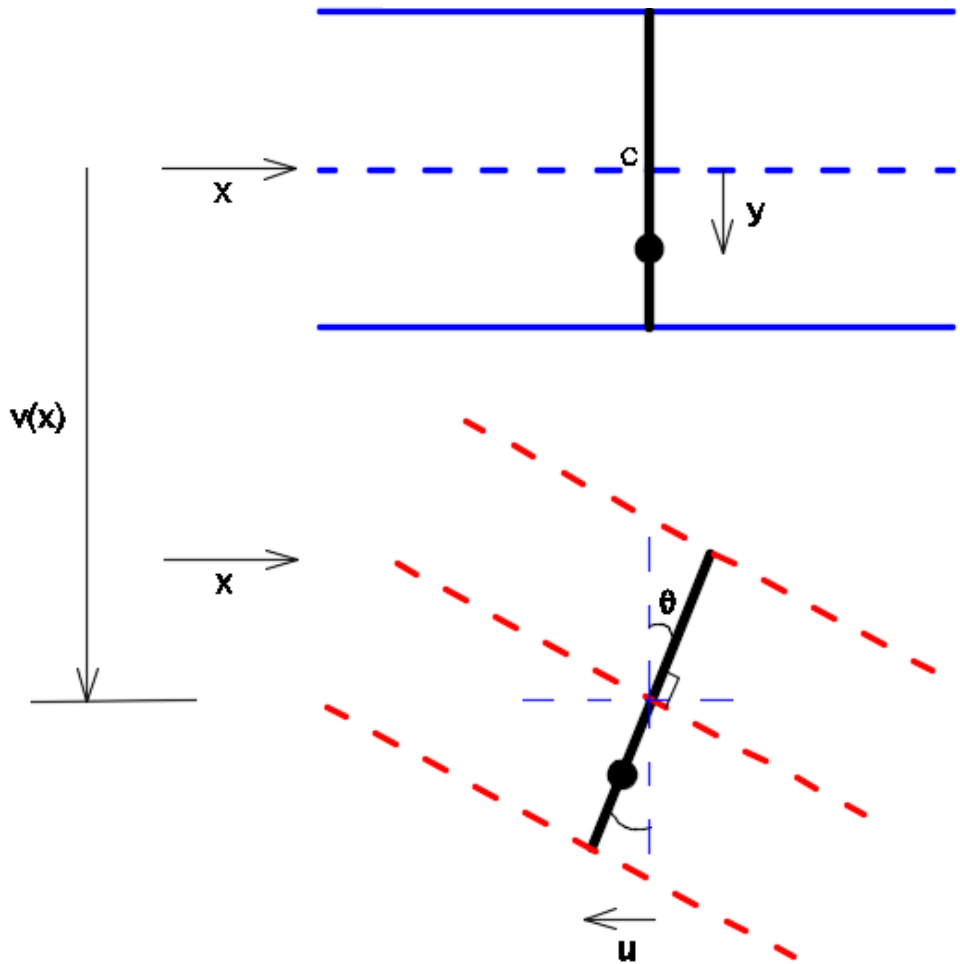
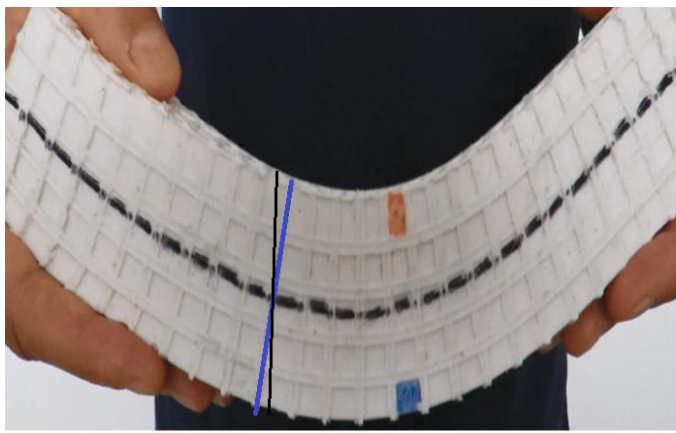
$$\theta = -v' = -\frac{dv}{dx}$$



# Viga de Euler-Bernoulli - Cinemática



# Viga de Euler-Bernoulli - Cinemática



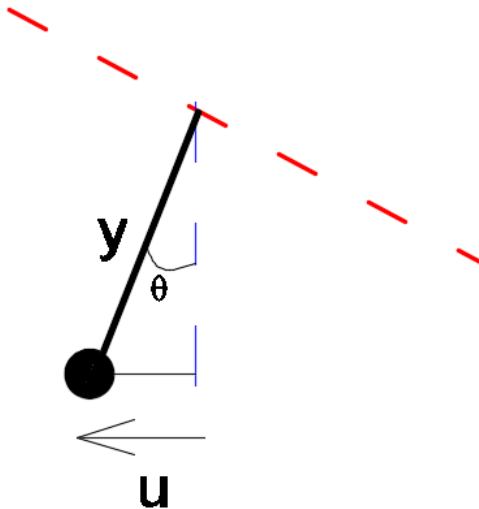
$$u(x) = -y \cdot \frac{dv(x)}{dx} = -y \cdot v'(x)$$

$$\varepsilon(x) = \frac{\partial u}{\partial x}$$

$$\varepsilon(x) = -y \cdot \frac{\partial u}{\partial x} = -y \cdot v''(x)$$

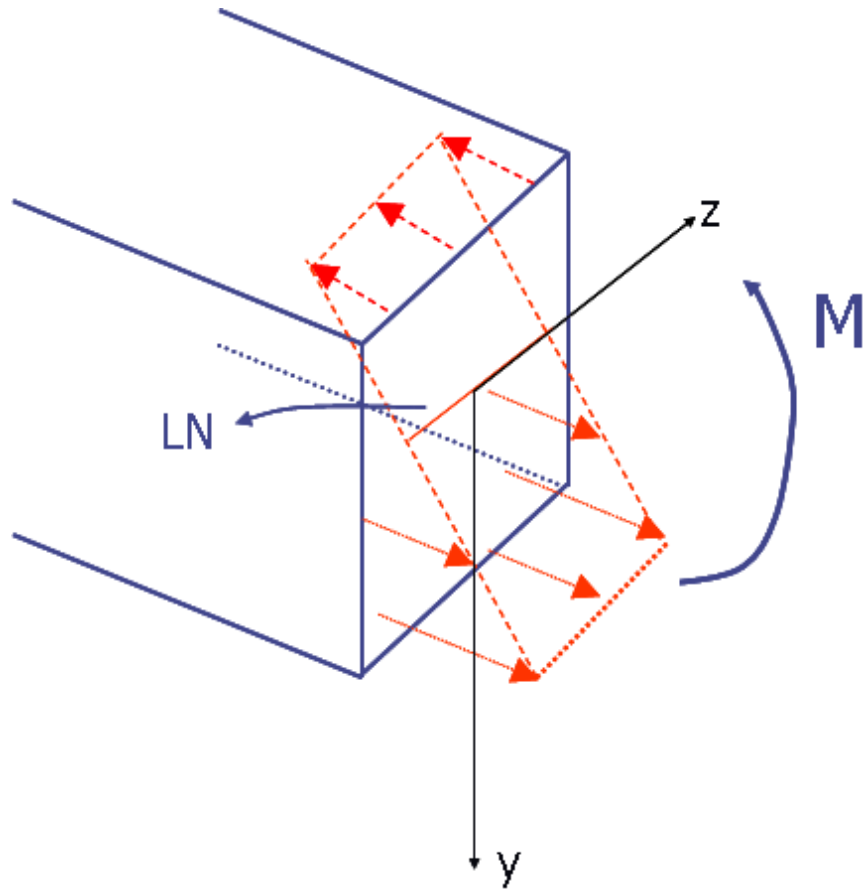
$$\sigma = E \cdot \varepsilon$$

$$\sigma_x(x) = [-E \cdot v''(x)] \cdot y$$



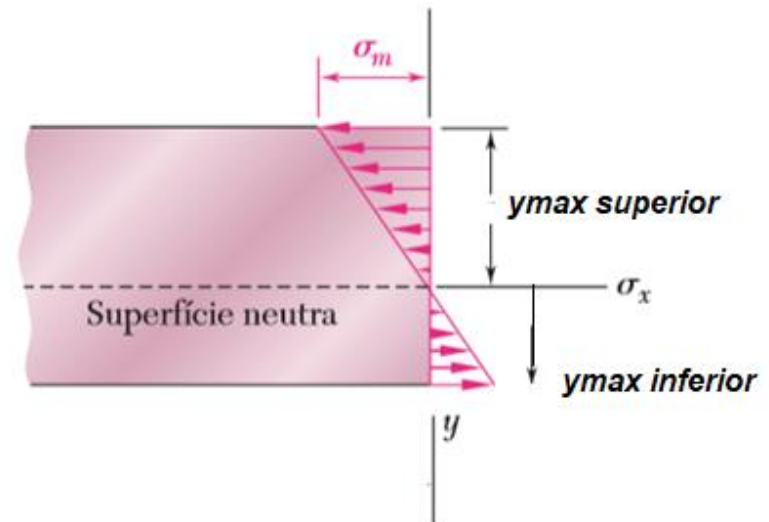
$$\theta = -v'(x)$$

# Distribuição de tensão na flexão pura



- Variação linear da tensão normal (em y);
- A tensão normal independe de z;
- $y = 0 \rightarrow \sigma_x = 0$ : **Linha Neutra (LN)**, tensões nulas no CG da ST;

$$\sigma_x(x) = [-E \cdot v''(x)] \cdot y$$



# Fórmula da Flexão Pura

$$M_z = \int_A \sigma \cdot y \, dA \quad \text{Relação de Equilíbrio}$$

$$\sigma_x(x) = [-E \cdot v''(x)] \cdot y$$

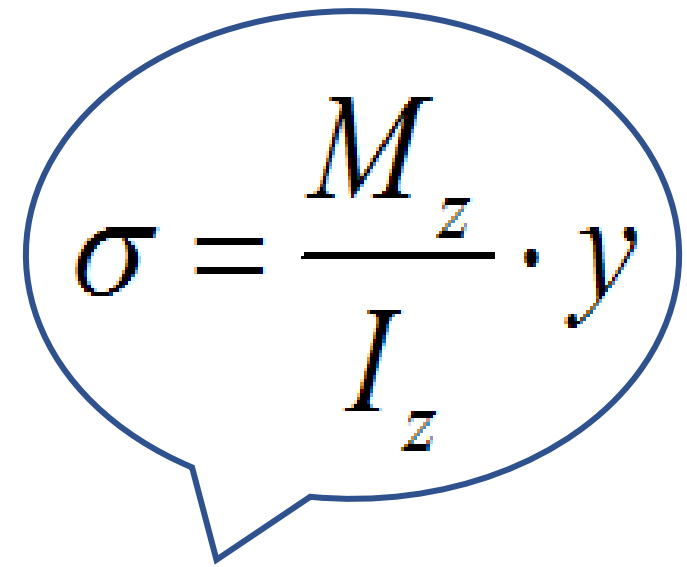
$$M_z = \int_A \{[-E \cdot v''(x)] \cdot y\} \cdot y \, dA$$

$$M_z = [-E \cdot v''(x)] \cdot \int_A y^2 \, dA$$

$$I_z = \int_A y^2 \cdot dA \quad (\text{momento de inércia})$$

$$M_z = [-E \cdot v''(x)] \cdot I_z$$

$$\sigma_x = \frac{M_z}{I_z} \cdot y$$

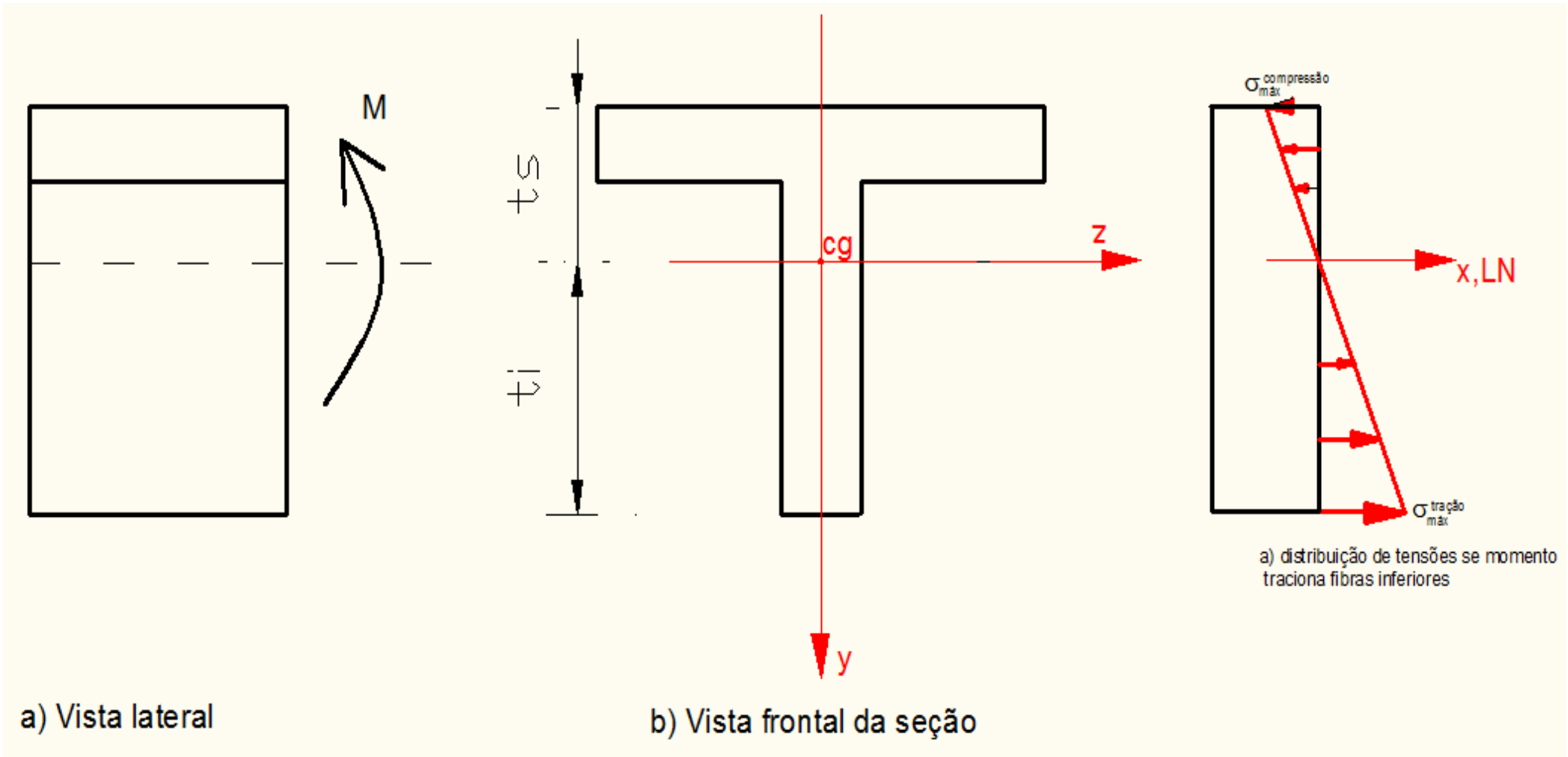

$$\sigma = \frac{M_z}{I_z} \cdot y$$

**Fórmula da Flexão Pura**

# Flexão Pura

$$\sigma = \frac{M_z}{I_z} \cdot y$$

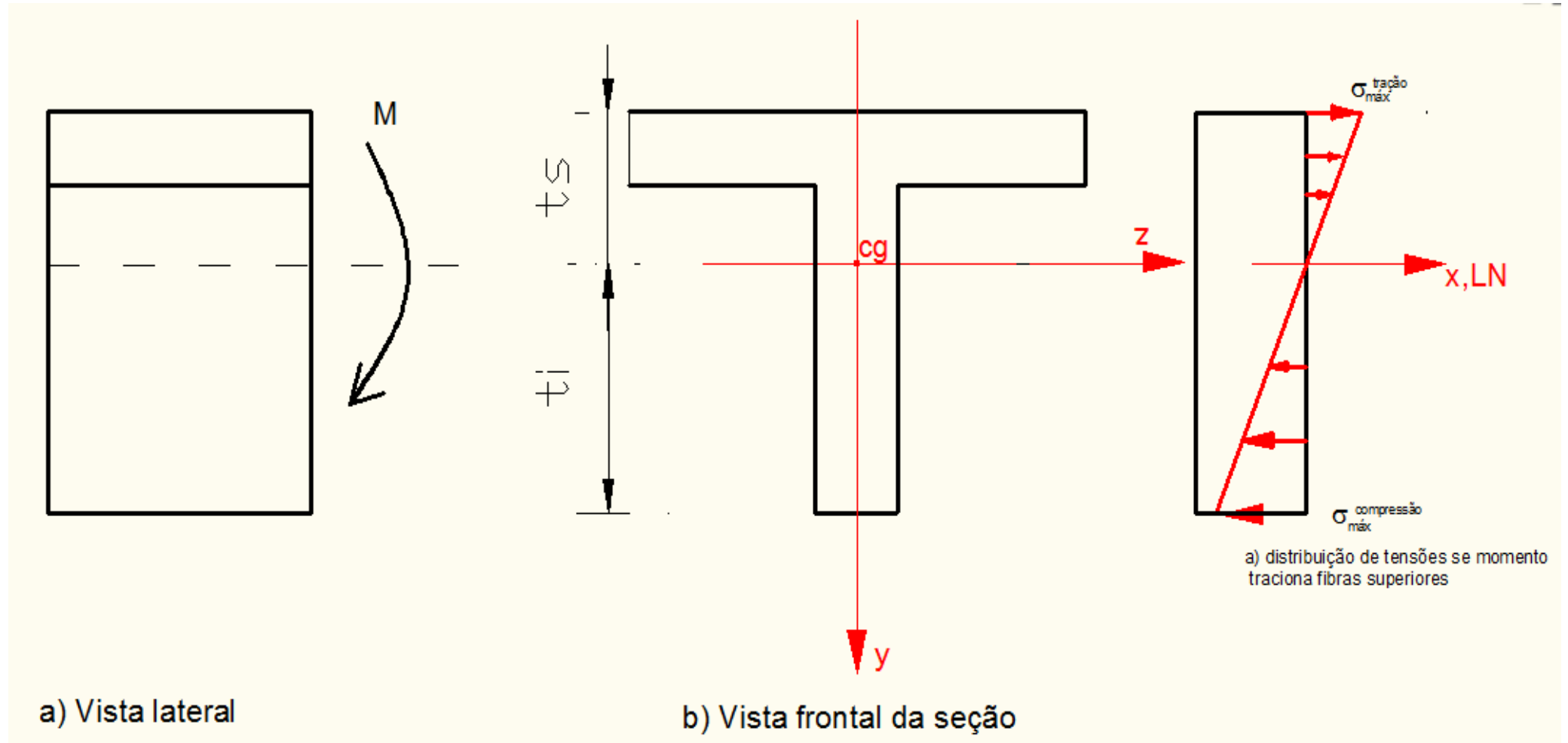
Tração fibras inferiores ao CG

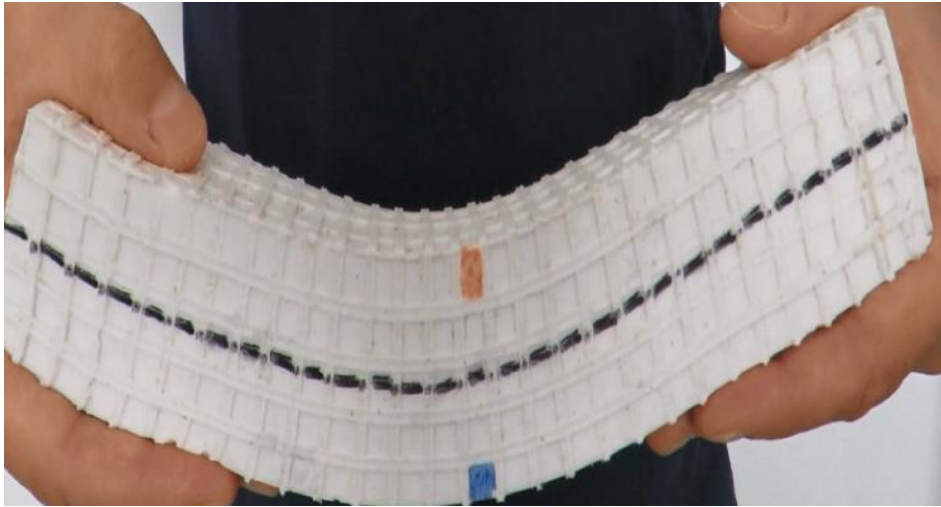
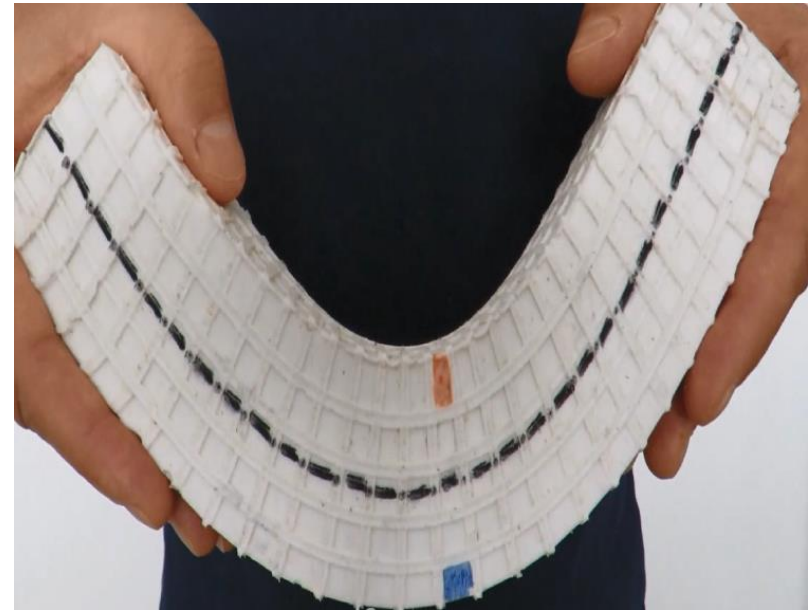
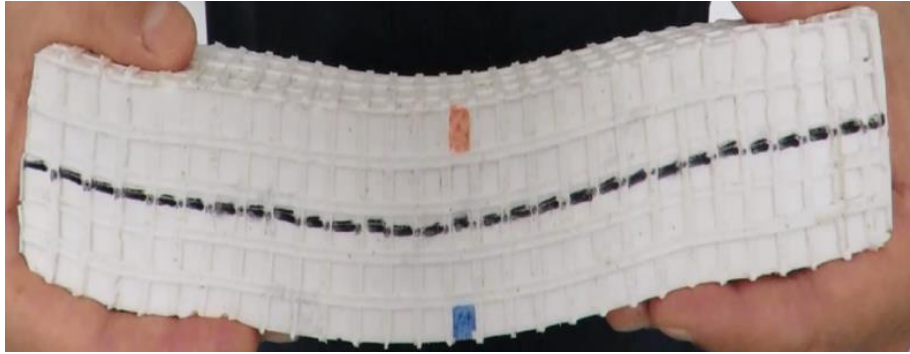


# Flexão Pura

$$\sigma = \frac{M_z}{I_z} \cdot y$$

Tração fibras superiores ao CG



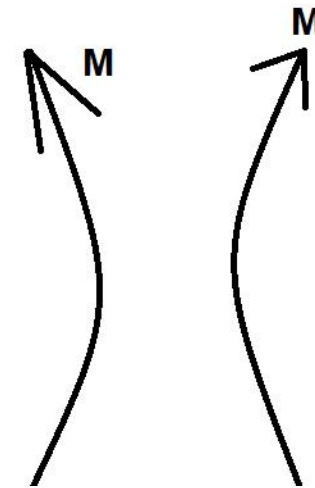
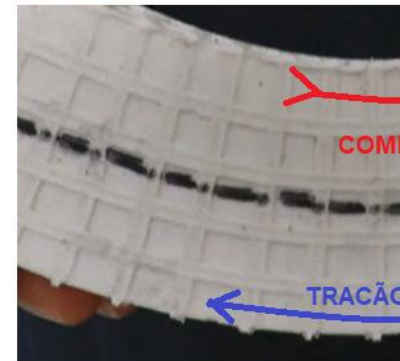
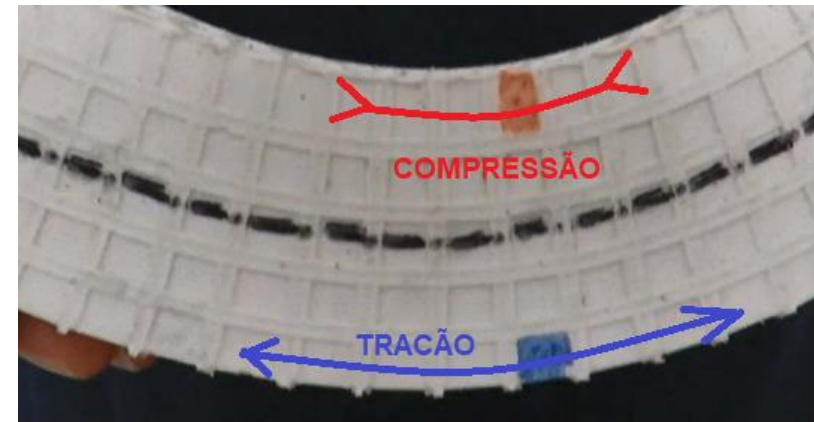
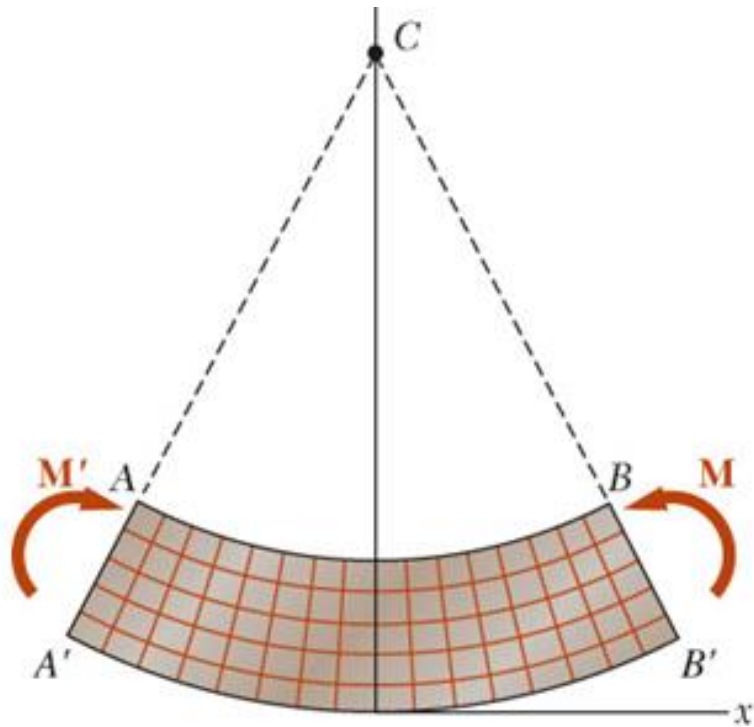




# Flexão Pura

- Se  $M > 0$  a linha AB diminui o comprimento enquanto A'B' aumenta o comprimento.
- Tensões e deformações são negativas (compressão) acima do plano neutro e positivas (tração) abaixo.

$$\sigma = \frac{M_z}{I_z} \cdot y$$



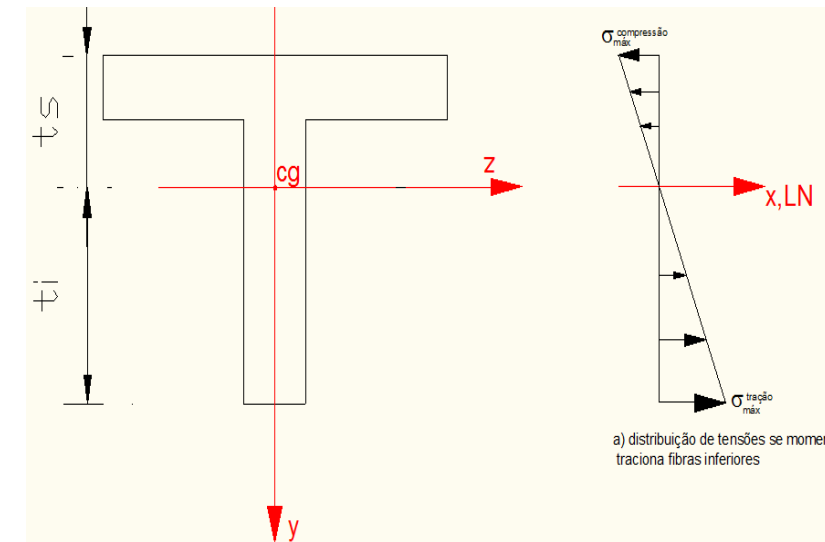
# Verificação ou Dimensionamento

- Dimensionamento da peça deve ser feito avaliando as tensões normais devido à flexão na seção crítica
- Há dois extremos a serem verificados em cada seção: máximo positivo e negativo, onde representam, respectivamente, a tensão máxima de tração e compressão.
- Compara-se então com as tensões admissíveis limites do material ( $\bar{\sigma}$ ), ou seja:

*Calcular :*

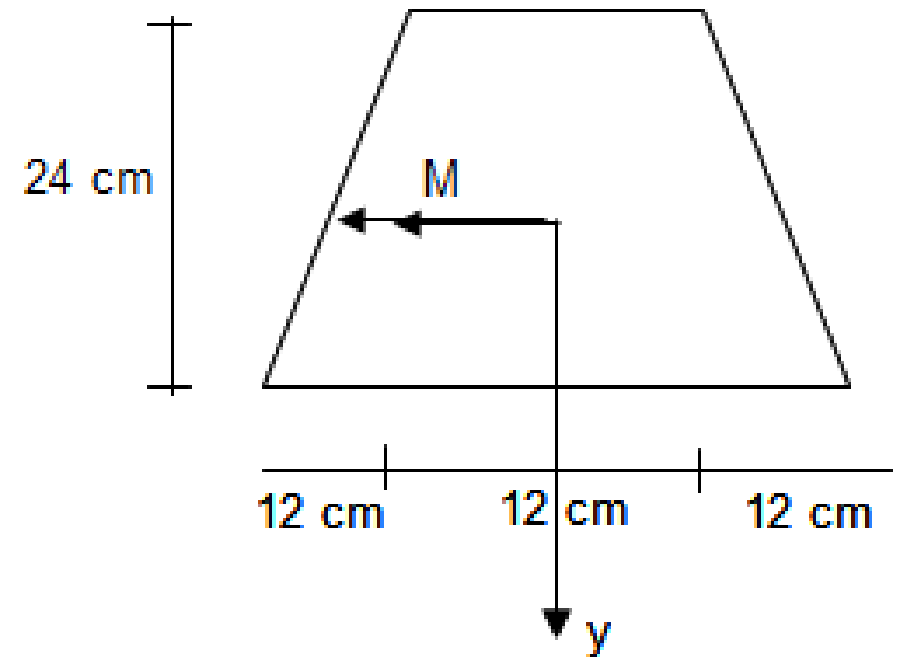
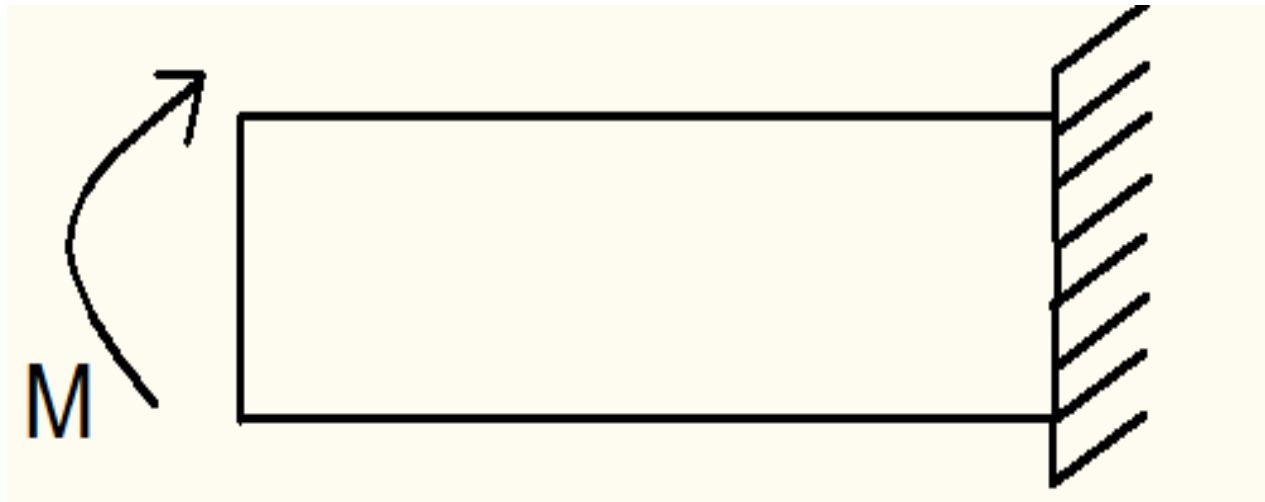
$$\sigma = \frac{M \cdot t_i}{I_z} \rightarrow \left\{ \begin{array}{l} \text{Se } \sigma \geq 0 \longrightarrow \sigma \leq \bar{\sigma}_{\text{tração}} \\ \text{Se } \sigma \leq 0 \longrightarrow \sigma \geq -\bar{\sigma}_{\text{compressão}} \end{array} \right\}$$

$$\sigma = \frac{M \cdot t_s}{I_z} \rightarrow \left\{ \begin{array}{l} \text{Se } \sigma \geq 0 \longrightarrow \sigma \leq \bar{\sigma}_{\text{tração}} \\ \text{Se } \sigma \leq 0 \longrightarrow \sigma \geq -\bar{\sigma}_{\text{compressão}} \end{array} \right\}$$



# EXEMPLO 1

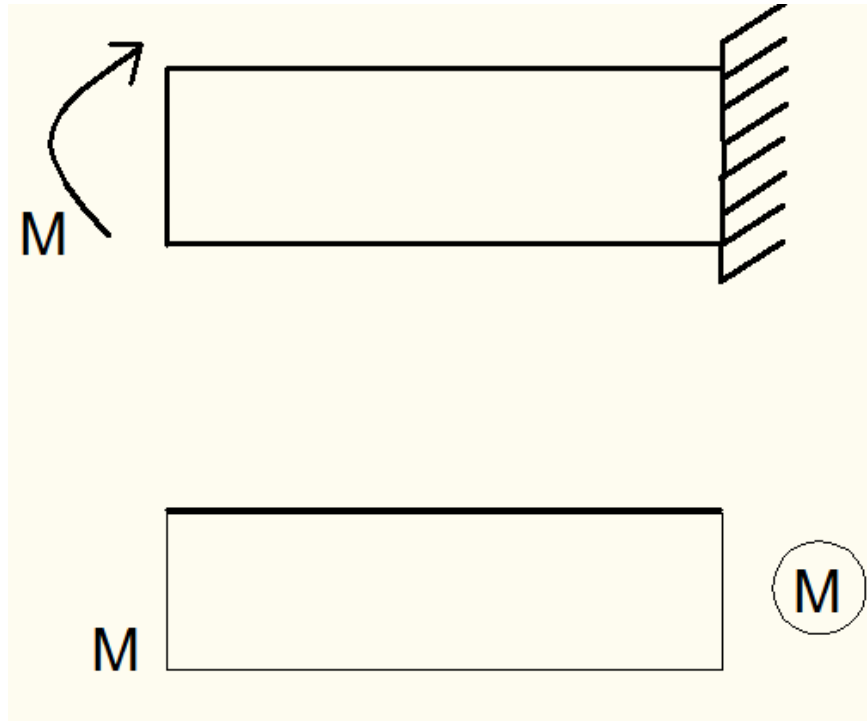
A viga tem seção transversal trapezoidal. Determinar o maior valor do momento fletor ( $M$ ) que pode ser aplicado para que a tensão normal em módulo não exceda  $5,0 \text{ kN/cm}^2$ .



Seção Transversal (ST)

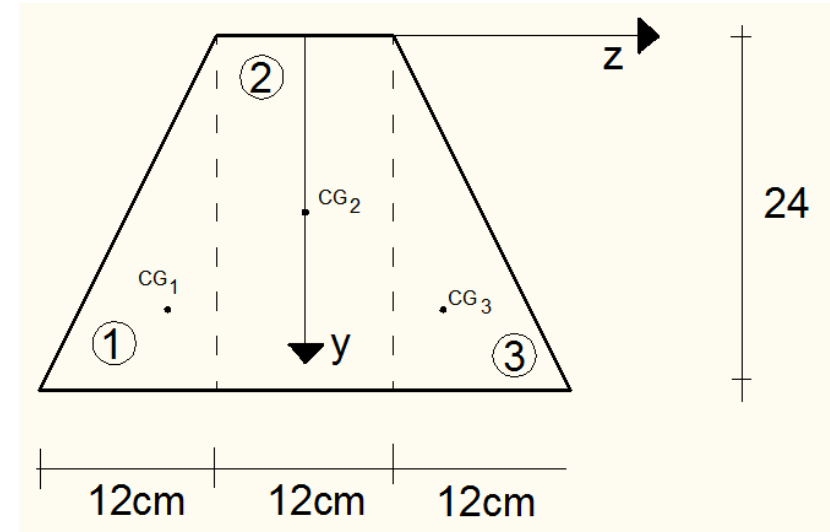
# EXEMPLO 1

a) Calcular diagrama de Momento Fletor



b) Obter CG e  $I_z$  da ST

**Dividir em geometrias básicas:  $n = 3$**



Região 1= Região 3:

$$(y_{CG})_1 = (y_{CG})_3 = 16 \text{ cm}; A_1 = A_3 = 144 \text{ cm}^2$$

Região 2:

$$(y_{CG})_2 = 12 \text{ cm}; A_2 = 288 \text{ cm}^2$$

$$y_{CG} = \frac{2 \cdot (y_{CG})_1 \cdot A_1 + (y_{CG})_2 \cdot A_2}{2 \cdot A_1 + A_2} = \frac{2 \cdot 16 \cdot 144 + 12 \cdot 288}{2 \cdot 144 + 288} = 14 \text{ cm}$$

# EXEMPLO 1 b) Obter CG e Iz da ST

$$I_z = \sum_{i=1}^n (I_{z_{cc_i}} + (\bar{y}_i)^2 \cdot A_i)$$

Região 1= Região 3:

$$\bar{y}_1 = \bar{y}_3 = 2 \text{ cm};$$

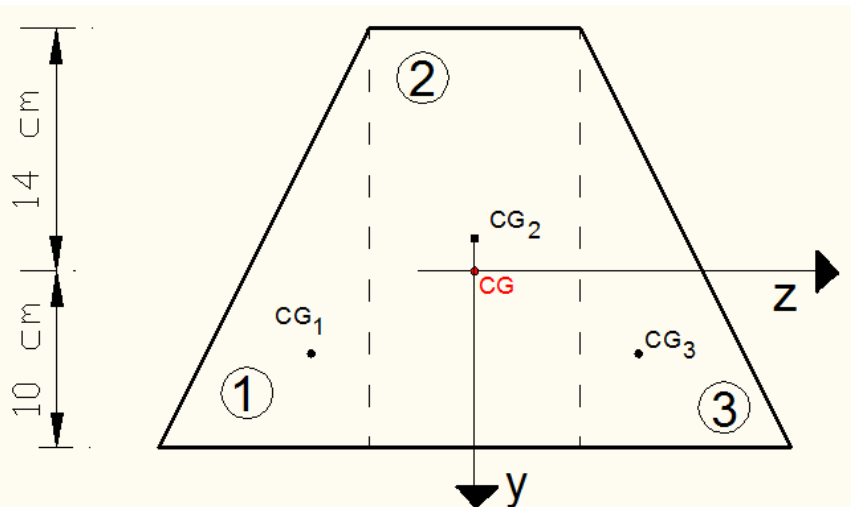
$$I_{z_{cc1}} = I_{z_{cc3}} = \frac{12.24^3}{36} = 4.608 \text{ cm}^4;$$

Região 2:

$$\bar{y}_2 = -2 \text{ cm};$$

$$I_{z_{cc2}} = \frac{12.24^3}{12} = 13.824 \text{ cm}^4;$$

$$(I_z)_{CG} = 2 \cdot [4.608 + (2)^2 \cdot 144] + [13.824 + (-2)^2 \cdot 288] = 25.344 \text{ cm}^4$$



c) Análise de tensões:

No diagrama, identificar seção com M máximo

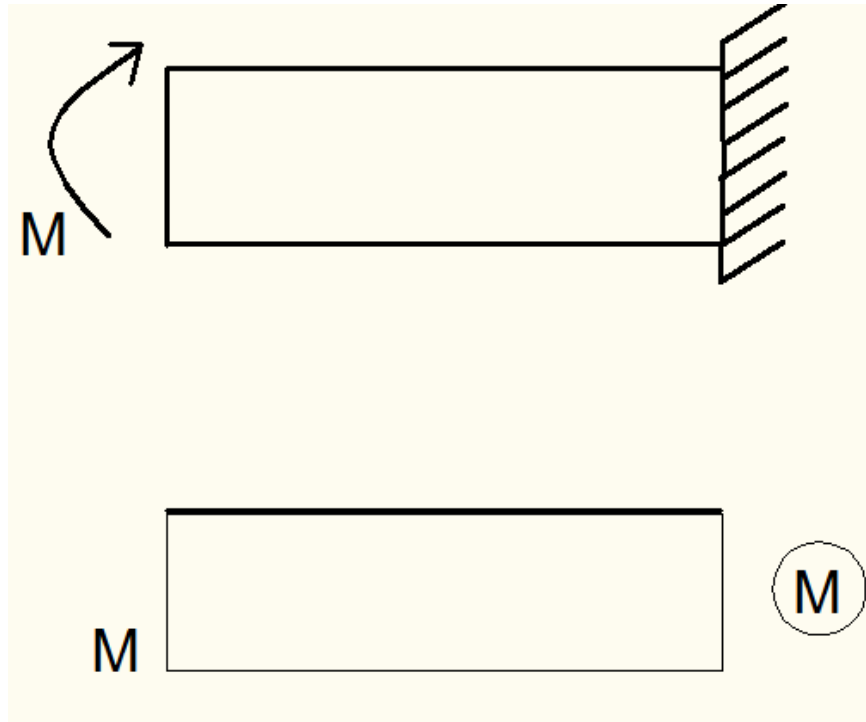
$$\sigma_{inf} = \frac{M \cdot y_{inf}}{I_z} = \frac{M \cdot 10}{25.344} \leq \sigma_{tração} \rightarrow \frac{M \cdot 10}{25.344} \leq 5,0 \rightarrow M \leq 12.672 \text{ kNcm}$$

$$\sigma_{sup} = \frac{M \cdot y_{sup}}{I_z} = \frac{M \cdot (-14)}{25.344} \text{ (compressão)} \rightarrow$$

$$\left| \frac{M \cdot (-14)}{25.344} \right| \leq \sigma_{compressão} \rightarrow \frac{M \cdot 14}{25.344} \leq 5,0 \rightarrow M \leq 9.051 \text{ kNcm}$$

$$M_{max} = 9.051 \text{ kNcm}$$

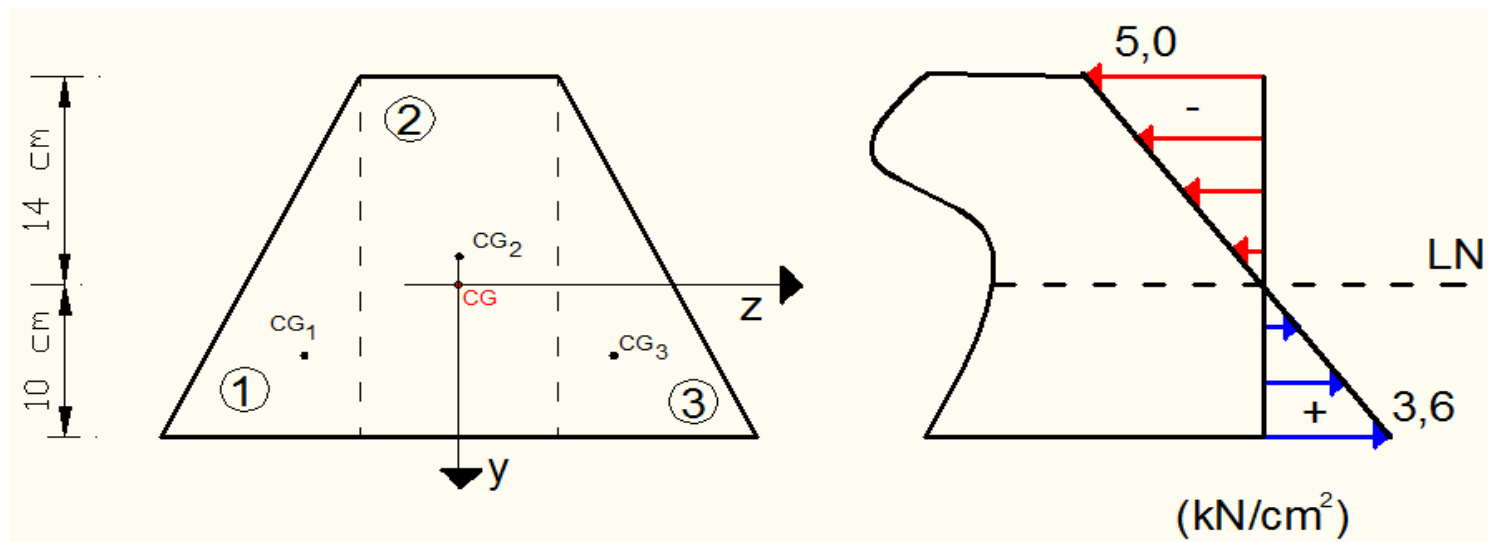
# EXEMPLO 1



$$M_{\max} = 9.051 \text{ kNcm}$$

$$\sigma_{\text{inf}} = \frac{M \cdot y_{\text{inf}}}{I_z} = \frac{9051 \cdot 10}{25.344} = 3,6 \text{ kN/cm}^2$$

$$\sigma_{\text{sup}} = \frac{M \cdot y_{\text{sup}}}{I_z} = \frac{9051 \cdot (-14)}{25.344} = -5 \text{ kN/cm}^2$$



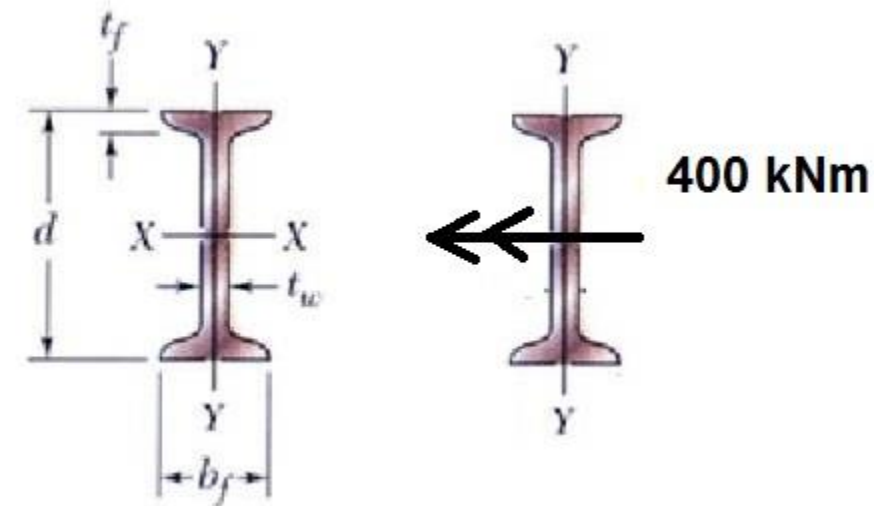
## EXEMPLO 2

Para uma viga com momento máximo de 400 kNm, formada por um perfil I de aço laminado, da tabela anexo, determine um perfil de modo que suas tensões solicitantes não superem a tensão admissível do material que é de 150 MPa.

$$(\sigma_x)_{\max} = \frac{M_z}{I_z} \cdot y_{\max} = \frac{M_z}{W_z}$$

$$W_z = \frac{I_z}{y_{\max}}$$

W: módulo de resistência (depende da geometria)  
unidade  $L^3$



Alguns livros usam o eixo horizontal sendo  $x$ , assim,  $W_x = \frac{I_x}{y_{\max}}$

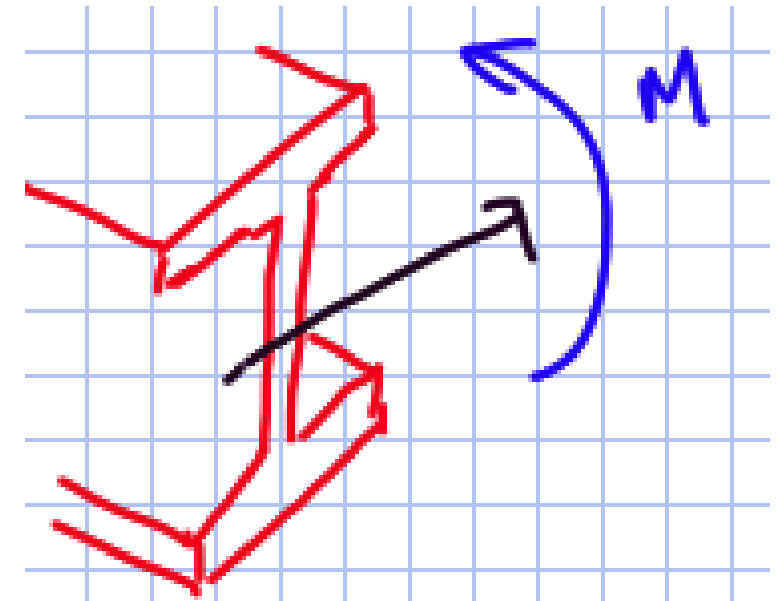
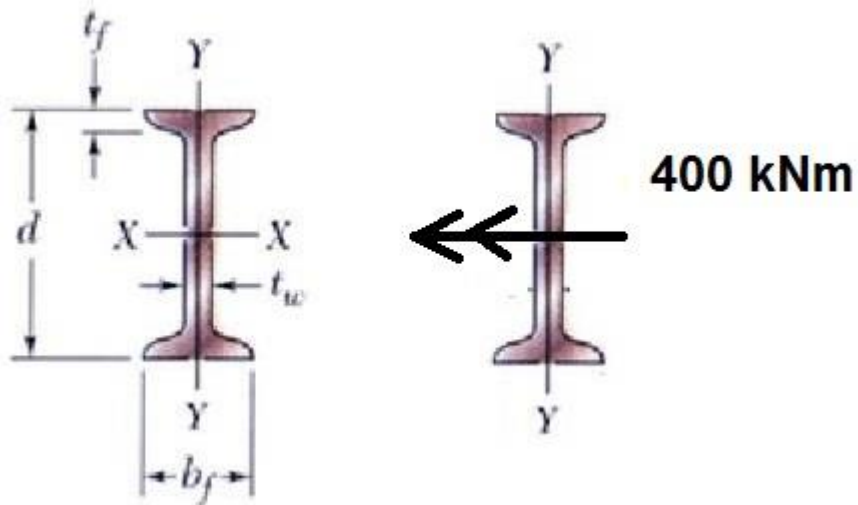
## EXEMPLO 2

$$(\sigma_x)_{\max} = \frac{M_z}{I_z} \cdot y_{\max} = \frac{M_z}{W_z}$$

$$W_z = \frac{I_z}{y_{\max}}$$

$$(\sigma_x)_{\max} = \frac{M_z}{W} = \frac{400}{W} \leq 150 \cdot 10^3 \text{ (kPa)}$$

$$W \geq 2,67 \cdot 10^{-3} \text{ m}^3 \rightarrow W \geq (2.670) \cdot 10^3 \text{ mm}^3$$



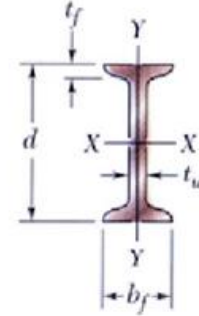
$W_x = W_z$  (pois eixo  $Z$  é  $X$ , no exemplo)



## Propriedades dos perfis de padrão americano

Apêndice C. Propriedades de perfis de aço laminado  
(Unidades SI)

Perfis I  
(Perfis de padrão americano)



$$W \geq (2.670) \cdot 10^3 \text{ mm}^3$$

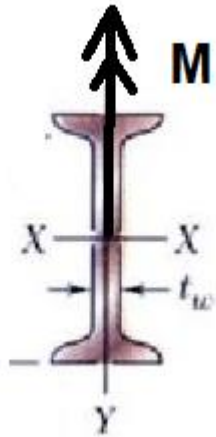
Designação	Área A, mm <sup>2</sup>	Altura d, mm	Mesa		Espessura da alma t <sub>w</sub> , mm	Eixos X-X			Eixos Y-Y		
			Largura b <sub>f</sub> , mm	Espessura t <sub>f</sub> , mm		I <sub>x</sub> 10 <sup>6</sup> mm <sup>4</sup>	W <sub>x</sub> 10 <sup>3</sup> mm <sup>3</sup>	r <sub>x</sub> mm	I <sub>y</sub> 10 <sup>6</sup> mm <sup>4</sup>	W <sub>y</sub> 10 <sup>3</sup> mm <sup>3</sup>	r <sub>y</sub> mm
I 610 × 180	22.900	622	204	27,7	20,3	1.320	4.200	240	34,9	341	39,0
158	20.100	622	200	27,7	15,7	1.230	3.950	247	32,5	321	39,9
149	19.000	610	184	22,1	18,9	995	3.260	229	20,2	215	32,3
134	17.100	610	181	22,1	15,9	938	3.080	234	19,0	206	33,0
119	15.200	610	178	22,1	12,7	878	2.880	240	17,9	198	34,0
I 510 × 143	18.200	516	183	23,4	20,3	700	2.710	196	21,3	228	33,9
128	16.400	516	179	23,4	16,8	658	2.550	200	19,7	216	34,4
112	14.200	508	162	20,2	16,1	530	2.090	193	12,6	152	29,5
98,3	12.500	508	159	20,2	12,8	495	1.950	199	11,8	145	30,4
I 460 × 104	13.300	457	159	17,6	18,1	385	1.685	170	10,4	127	27,5
81,4	10.400	457	152	17,6	11,7	333	1.460	179	8,83	113	28,8
I 380 × 74	9.500	381	143	15,6	14,0	201	1.060	145	6,65	90,8	26,1
64	8.150	381	140	15,8	10,4	185	971	151	6,15	85,7	27,1



**Perfil Escolhido:**

**I 510x143**

# EXEMPLO 2



$$\sigma_x = \frac{M_y}{I_y} x_{max}$$

$$\sigma_x = \frac{M_y}{W_y}$$

$$M = 400 \text{ kNm} \quad 150 \cdot 10^3 \geq \frac{400}{W_y}$$

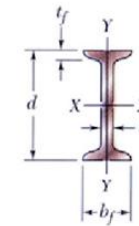
$$W_y \geq 2670 \cdot 10^3 \text{ mm}^3$$

## ESTÁTICA E MECÂNICA DOS MATERIAIS

### Propriedades dos perfis de padrão americano

Apêndice C. Propriedades de perfis de aço laminado  
(Unidades SI)

Perfis I  
(Perfis de padrão americano)



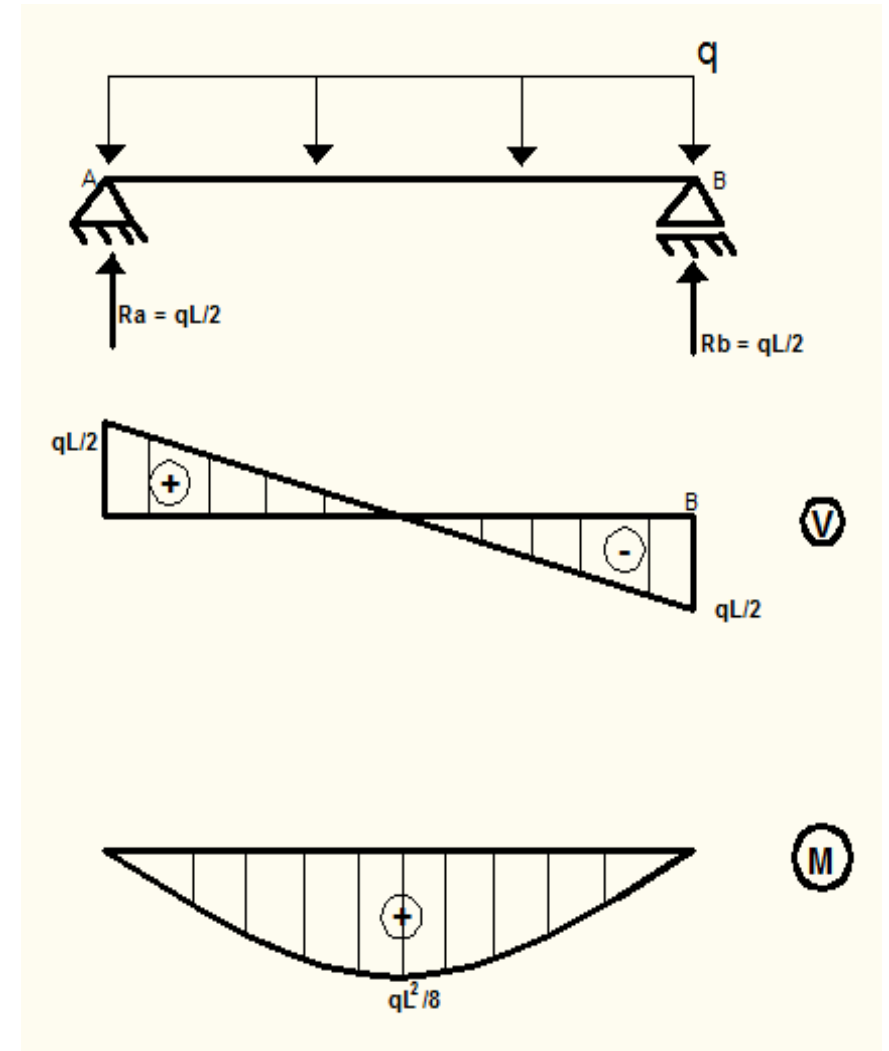
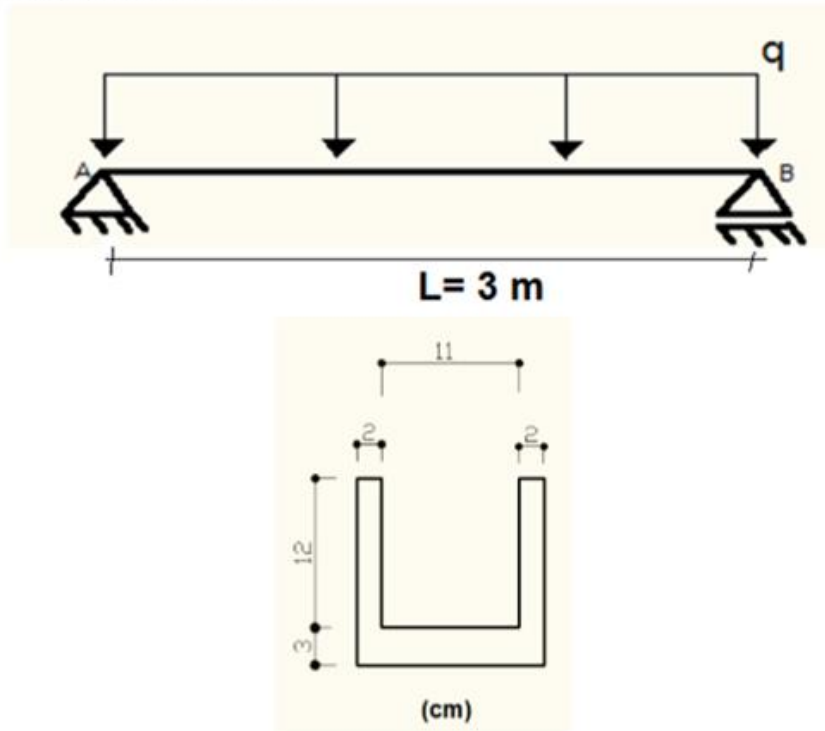
Designação	Área $A, \text{mm}^2$	Altura $d, \text{mm}$	Mesa		Espessura da alma $t_w, \text{mm}$	Eixos X-X			Eixos Y-Y		
			Largura $b_f, \text{mm}$	Espessura $t_f, \text{mm}$		$I_x$ $10^6 \text{mm}^4$	$W_x$ $10^3 \text{mm}^3$	$r_x$ $\text{mm}$	$I_y$ $10^6 \text{mm}^4$	$W_y$ $10^3 \text{mm}^3$	$r_y$ $\text{mm}$
I 610 × 180	22.900	622	204	27,7	20,3	1.320	4.200	240	34,9	341	39,0
158	20.100	622	200	27,7	15,7	1.230	3.950	247	32,5	321	39,9
149	19.000	610	184	22,1	18,9	995	3.260	229	20,2	215	32,3
134	17.100	610	181	22,1	15,9	938	3.080	234	19,0	206	33,0
119	15.200	610	178	22,1	12,7	878	2.880	240	17,9	198	34,0
I 510 × 143	18.200	516	183	23,4	20,3	700	2.710	196	21,3	228	33,9
128	16.400	516	179	23,4	16,8	658	2.550	200	19,7	216	34,4
112	14.200	508	162	20,2	16,1	530	2.090	193	12,6	152	29,5
98,3	12.500	508	159	20,2	12,8	495	1.950	199	11,8	145	30,4
I 460 × 104	13.300	457	159	17,6	18,1	385	1.685	170	10,4	127	27,5
81,4	10.400	457	152	17,6	11,7	333	1.460	179	8,83	113	28,8
I 380 × 74	9.500	381	143	15,6	14,0	201	1.060	145	6,65	90,8	26,1
64	8.150	381	140	15,8	10,4	185	971	151	6,15	85,7	27,1

Não possível esse perfil

Para esse M, nenhum perfil seria possível

# EXEMPLO 3

Para a viga bi-apoiada a seguir com material que possui tensão admissível de 60 MPa para tração e 150 MPa para compressão, calcule o máximo valor da carga distribuída “ $q$ ”, nas unidades de kN/m. A sua seção transversal é um perfil U, conforme desenho.

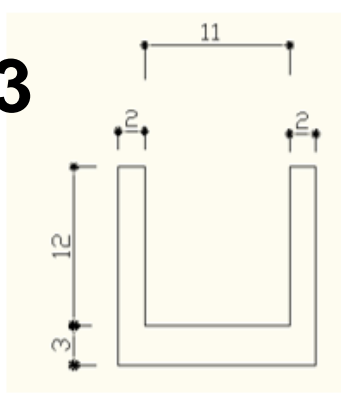


Resposta:

- Determinar o diagrama de momento fletor:

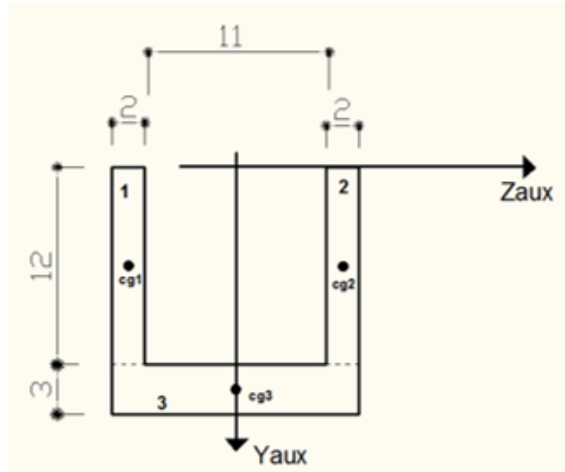
Momento máximo ocorre na seção central e de valor:  $M_{\max} = q \cdot 3^2 / 8 = 1,125 \cdot q$

# EXEMPLO 3



Resposta:

- a) Dividir em trechos de geometria básica e estabelecer sistema auxiliar, ver desenho:



Região 1 = Região 2

$$(y_{CG})_1 = 6 \text{ cm}; A_1 = 24 \text{ cm}^2$$

Região 3:

$$(y_{CG})_2 = 13,5 \text{ cm}; A_2 = 45 \text{ cm}^2$$

$$y_{CG} = \frac{2 \cdot (y_{CG})_1 \cdot A_1 + (y_{CG})_2 \cdot A_2}{2 \cdot A_1 + A_2} = \frac{2 \cdot 6 \cdot 24 + 13,5 \cdot 45}{2 \cdot 24 + 45} = 9,63 \text{ cm}$$

Região 1= Região 2:

$$\bar{y}_1 = -3,63 \text{ cm};$$

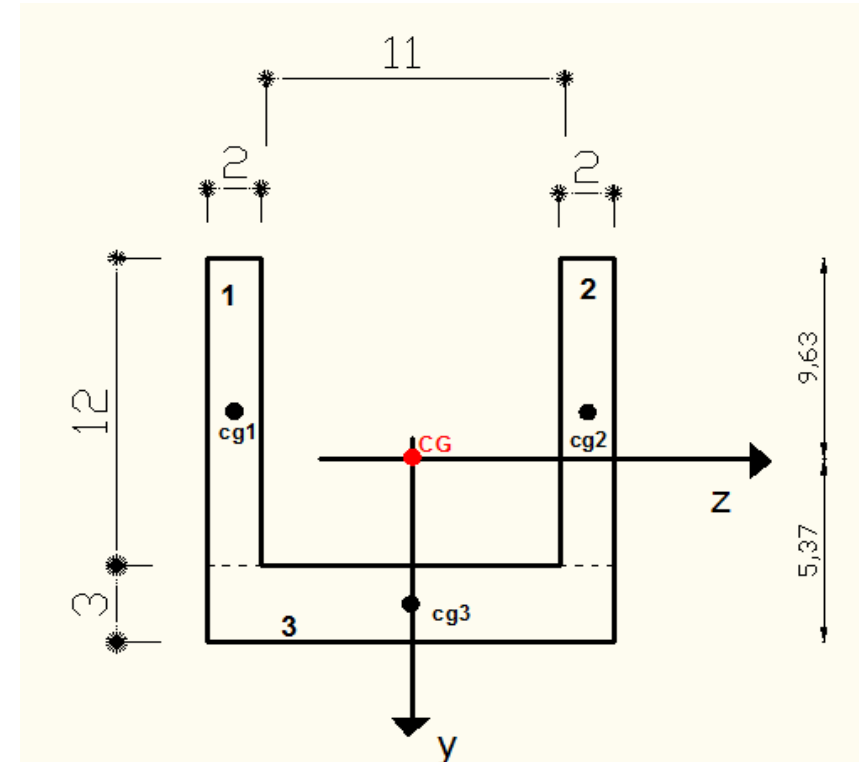
$$I_{z_{ca1}} = \frac{2 \cdot 12^3}{12} = 288 \text{ cm}^4;$$

Região 3:

$$\bar{y}_2 = 3,87 \text{ cm};$$

$$I_{z_{ca2}} = \frac{15 \cdot 3^3}{12} = 33,75 \text{ cm}^4;$$

$$(I_z)_{CG} = 2 \cdot [288 + (-3,63)^2 \cdot 24] + [33,75 + (3,87)^2 \cdot 45] = 1916,2 \text{ cm}^4$$



# EXEMPLO 3

$$(\sigma_x)_{\max} = \frac{M_z}{I_z} \cdot y_{\max}$$

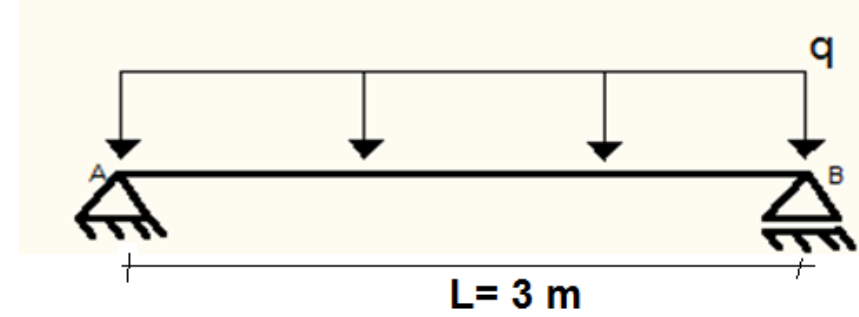
$$\sigma_{\text{inf}} = \frac{M \cdot y_{\text{inf}}}{I_z} = \frac{1,125q \cdot (0,0537)}{1916,2 \cdot 10^{-8}} \text{ (tração)} \rightarrow \frac{1,125q \cdot (0,0537)}{1916,2 \cdot 10^{-8}} \leq \sigma_{\text{tração}} = 60 \cdot 10^3 \text{ (kPa)}$$

$$\rightarrow q \leq 19,0 \text{ (kN/m)}$$

$$\sigma_{\text{sup}} = \frac{M \cdot y_{\text{sup}}}{I_z} = \frac{1,125q \cdot (-0,0963)}{1916,2 \cdot 10^{-8}} \text{ (compressão)} \rightarrow \left| \frac{1,125q \cdot (-0,0963)}{1916,2 \cdot 10^{-8}} \right| \leq \sigma_{\text{compressão}} = 150 \cdot 10^3 \text{ (kPa)}$$

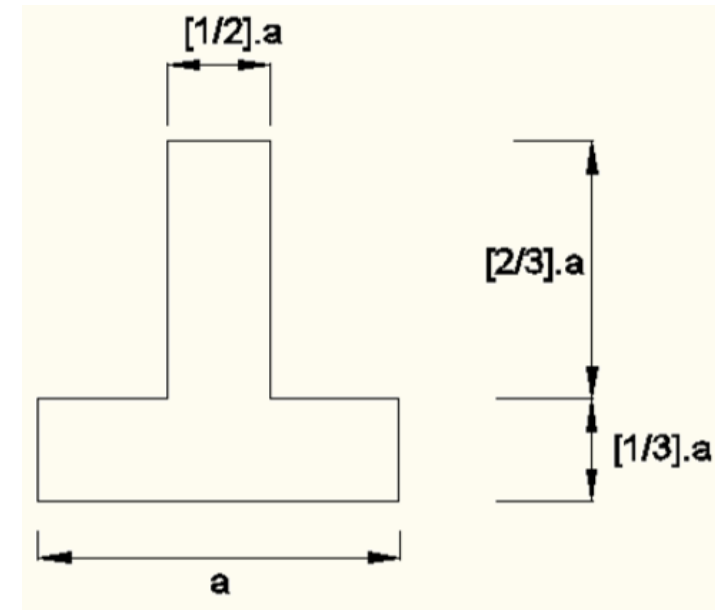
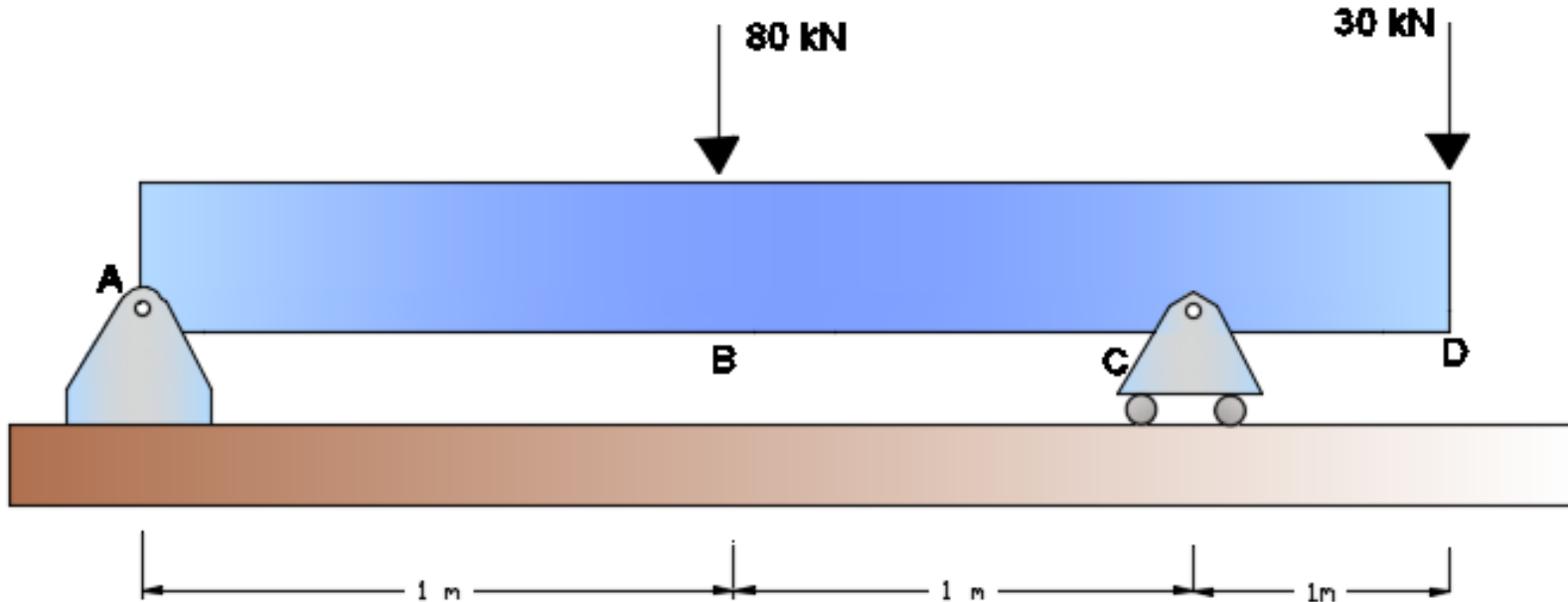
$$\rightarrow q \leq 26,5 \text{ (kN/m)}$$

$$\therefore q_{\max} = 19 \text{ kN/m}$$



# EXEMPLO 4

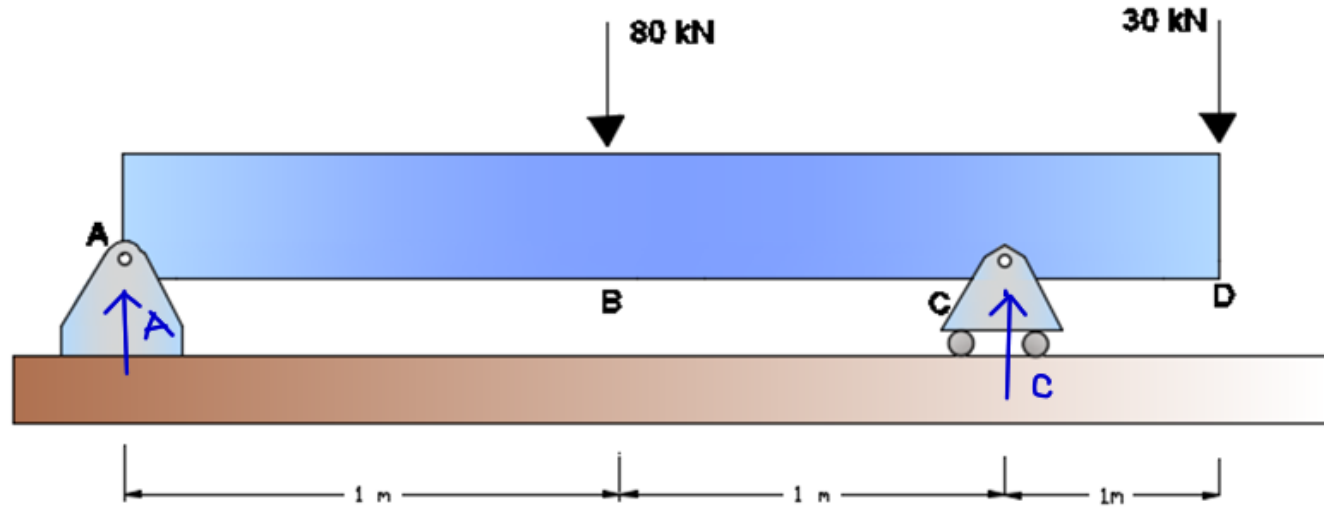
A viga está sujeita aos carregamentos mostrado na figura. Determine a mínima dimensão  $a$  exigida para sua seção transversal se a tensão admissível a tração é de 150 MPa e compressão de 200 MPa.



Seção transversal

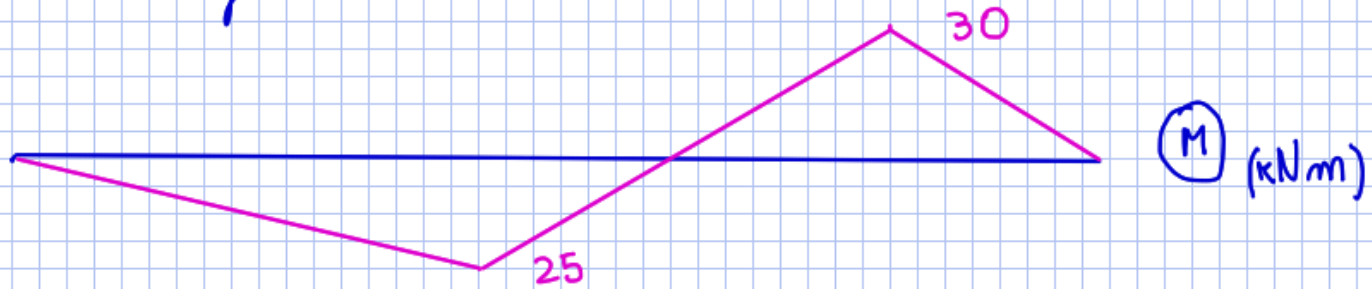
# EXEMPLO 4

a) Diagrama de Momento fletor



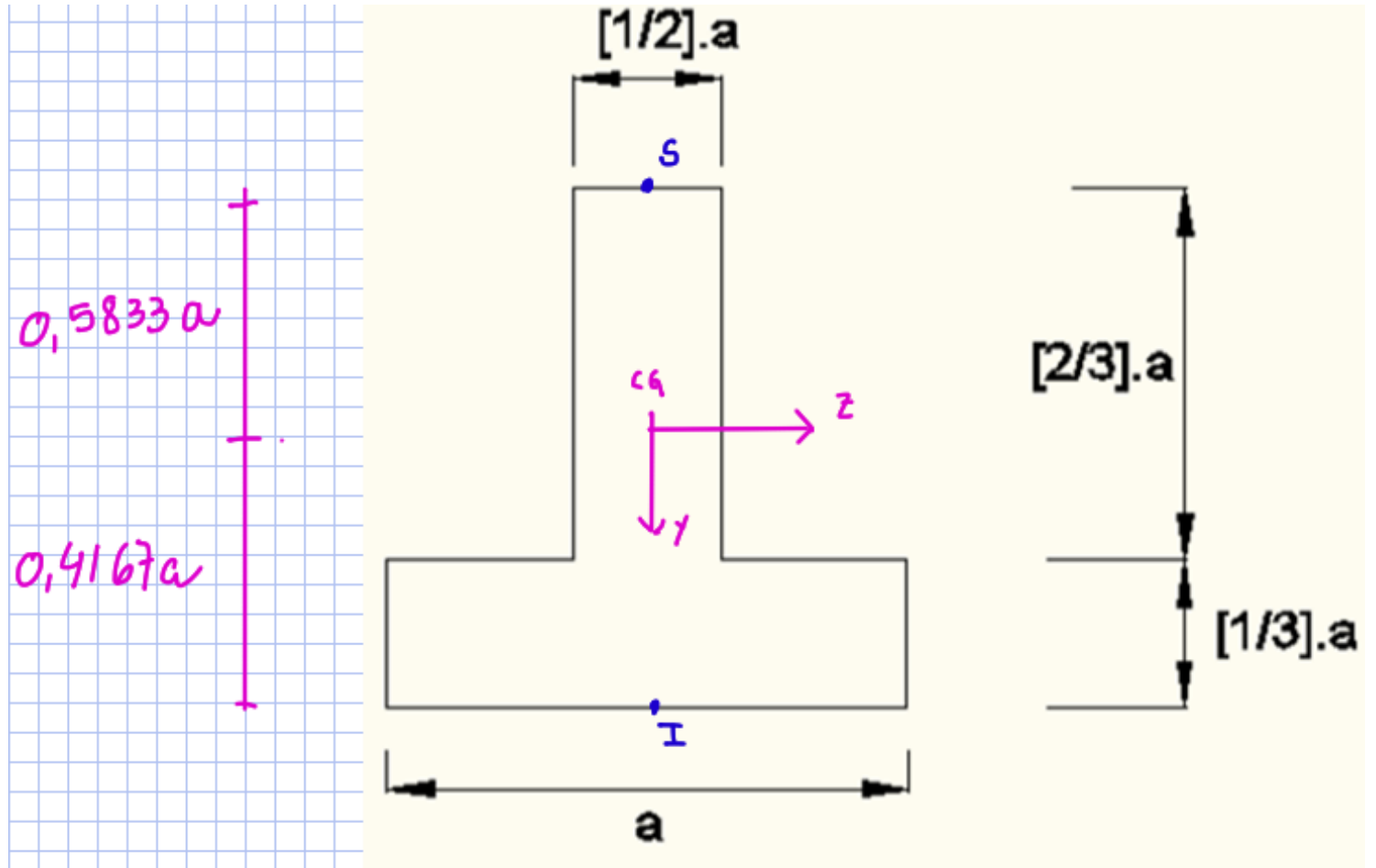
$$\sum M_A = 0: 2 \cdot C = 80 \cdot 1 + 30 \cdot 3 \rightarrow C = 85 \text{ kN}$$

$$\sum F_y = 0: A + C = 110 \rightarrow A = 25 \text{ kN}$$



# EXEMPLO 4

b) Características geométricas



$$I_{z_{c_g}} = \frac{37}{648} a^4$$



# EXEMPLO 4

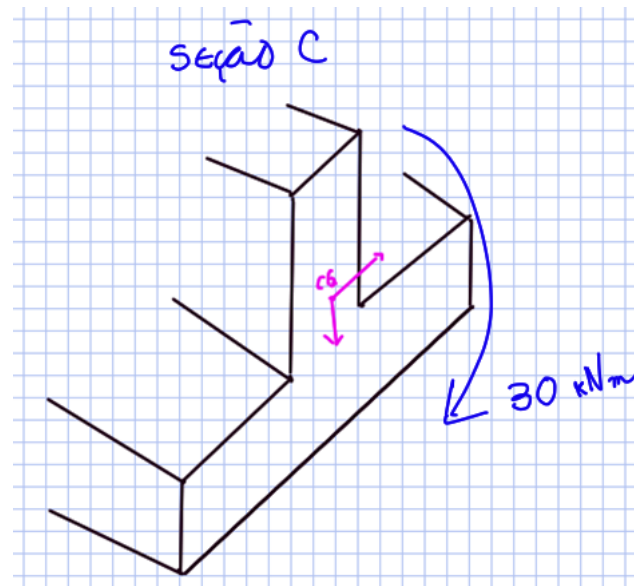
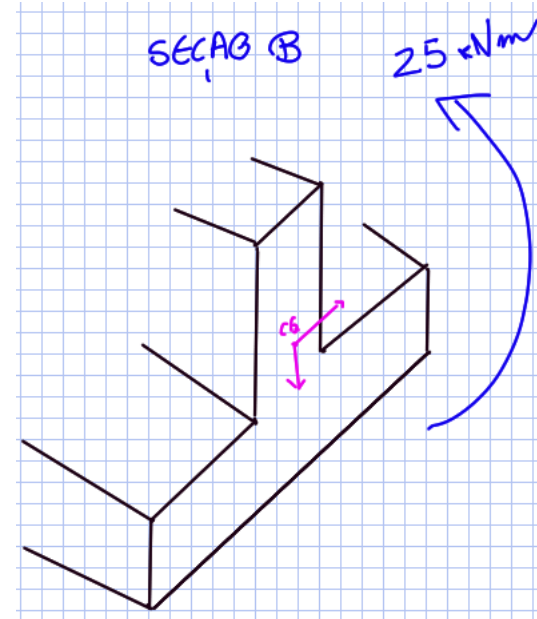
c) Análise de tensões

SEÇÃO B

$$(\sigma_{BI})_t = \frac{25 \cdot 0,4167a}{\frac{37}{648} a^4} \leq \sigma_{adm_t} = 150 \cdot 10^3 \text{ (kPa)}$$
$$a \geq 0,1067 \text{ m}$$
$$(\sigma_{BS})_c = \left| \frac{(25)(-0,5833a)}{\frac{37}{648} a^4} \right| \leq \sigma_{adm_c} = 200 \cdot 10^3$$
$$a \geq 0,1085 \text{ m}$$

SEÇÃO C

$$(\sigma_{CI})_c = \left| \frac{(-30)(0,4167a)}{\frac{37}{648} a^4} \right| \leq 200 \cdot 10^3 \text{ (kPa)}$$
$$a \geq 0,1031 \text{ m}$$
$$(\sigma_{CS})_t = \frac{(-30)(-0,5833a)}{\frac{37}{648} a^4} \leq 150 \cdot 10^3$$
$$a \geq 0,1269 \text{ m}$$



Sugestão:  
Verifique a seção com  
máximo valor de M  
positivo e negativo

$$a_{\min}' = 126,9 \text{ mm}$$

# EXEMPLO 4

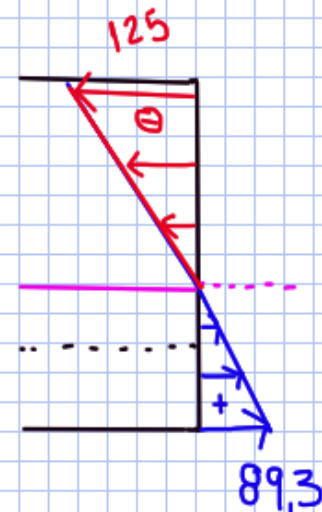
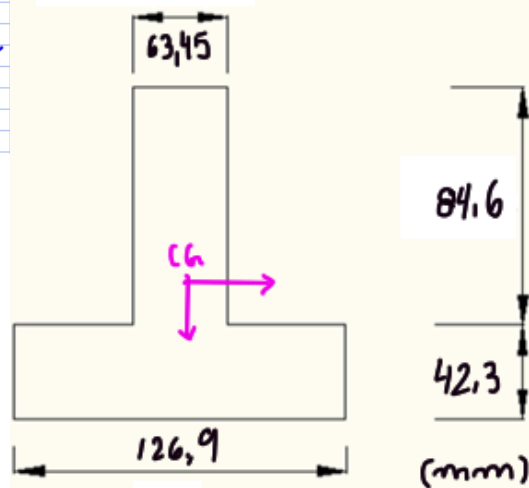
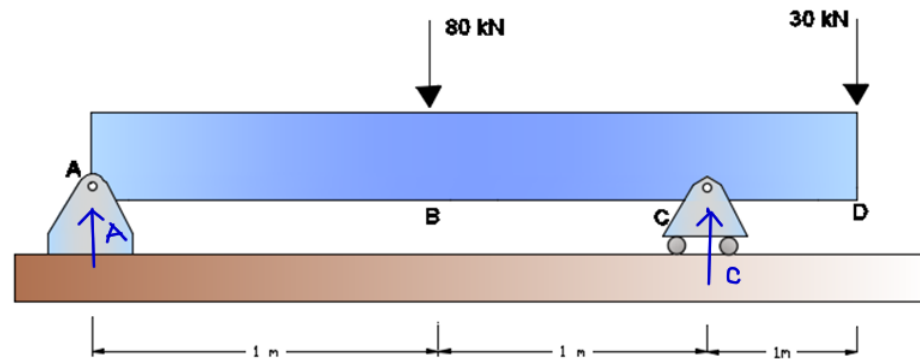
$$P | a = 126,9 \text{ mm}$$

$$\text{seção B: } \sigma_I = \frac{25 \cdot 0,41167 \cdot 0,1269}{\frac{37}{648} \cdot (0,1269)^4} = 89,3 \text{ MPa}$$

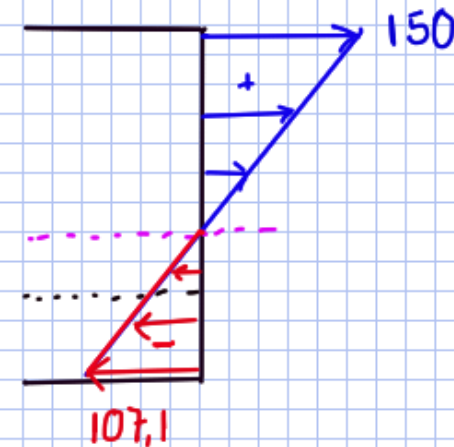
$$\sigma_S = \frac{25(-0,5833) \cdot 0,1269}{\frac{37}{648} \cdot (0,1269)^4} = -125 \text{ MPa}$$

$$\text{seção C: } \sigma_I = \frac{(-30)(0,4167 \cdot 0,1269)}{\frac{37}{648} \cdot (0,1269)^4} = -107,1 \text{ MPa}$$

$$\sigma_S = \frac{(-30)(-0,5833 \cdot 0,1269)}{\frac{37}{648} \cdot (0,1269)^4} = 150 \text{ MPa}$$



(B)



(C)

(MPa)

# AVISOS – PROVA 1

Prova individual.

Realizaremos dia **17/06/20** a P1, que conterà os seguintes assuntos:

- 1) **diagrama de esforços plano e espacial;**
- 2) **cargas axiais, tensões normais, tangenciais, barras rígidas;**
- 3) **torção;**
- 4) **flexão pura**

A prova será assíncrona. Postarei a prova às **15 horas** no site e enviarei por email a todos.

Ela deve ser enviada em um arquivo único em pdf com seu nome até as **20:30h do mesmo dia, 17/06.**

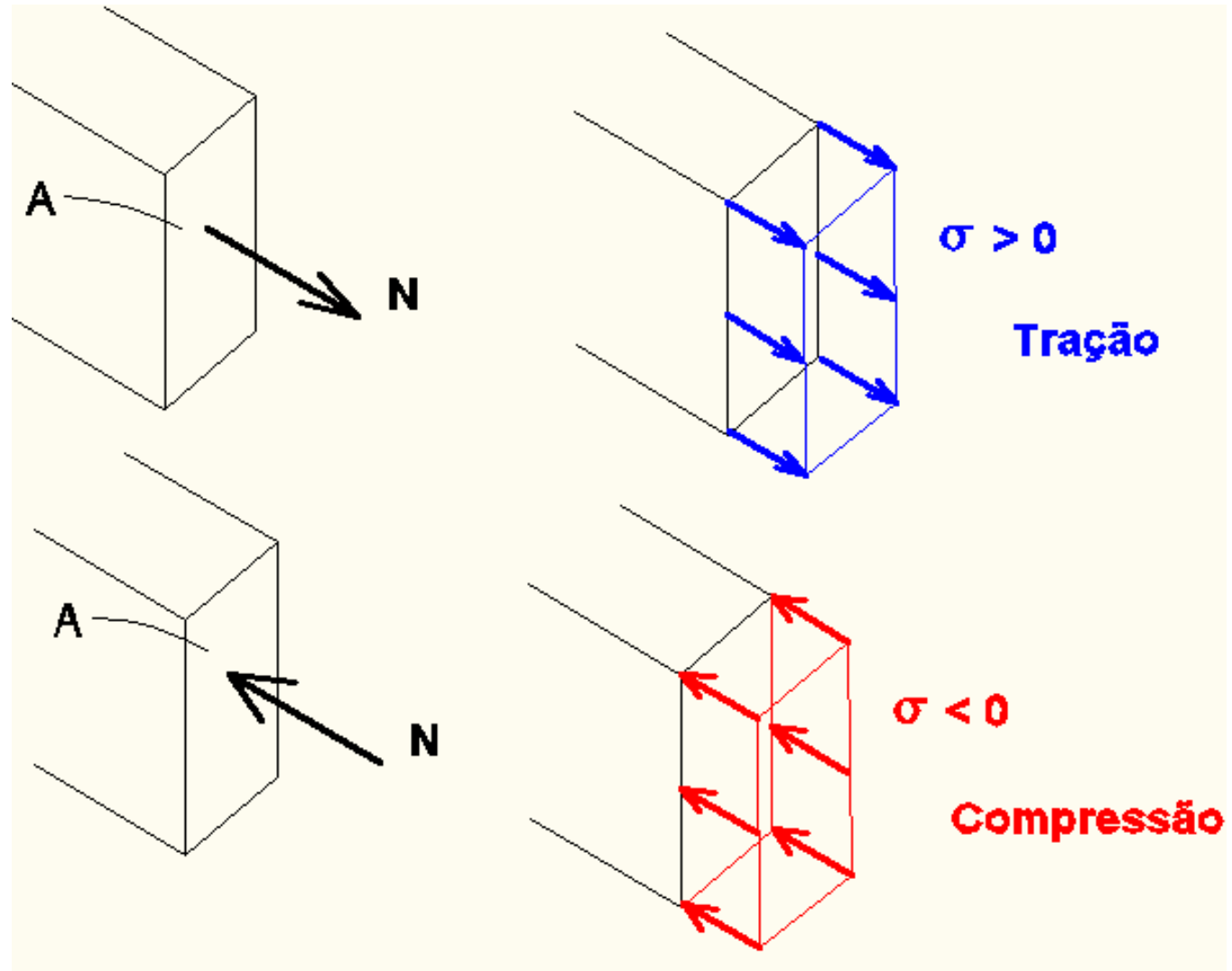
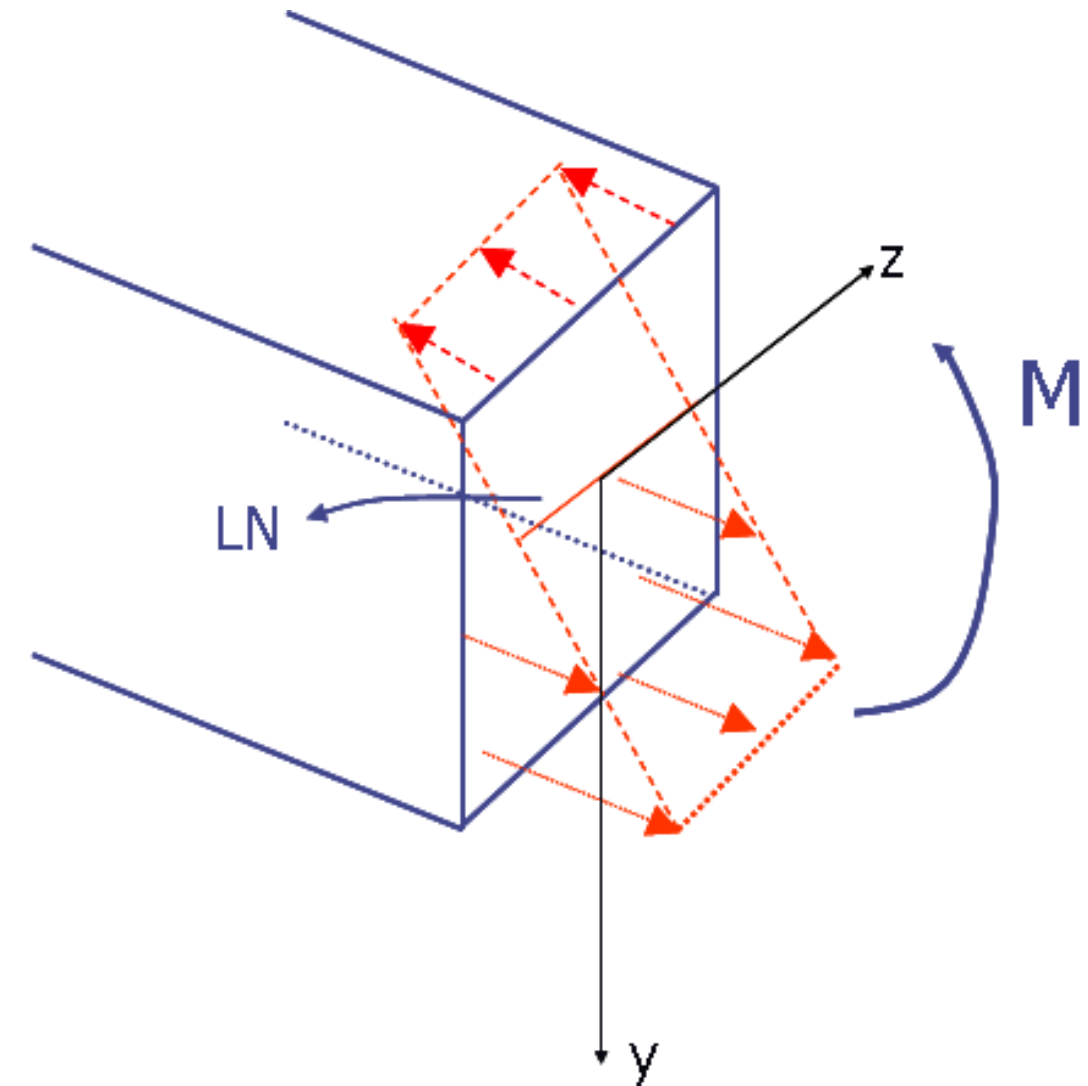
O arquivo com as resoluções explicitadas devem ser claros para visualização. A prova pode ser escaneada ou aglutinadas por fotos em um único arquivo. Algumas fotos de exercícios ficaram difíceis de enxergar ano passado. Numere as folhas.

**Exercício de flexão pura**  
**Entregar 17/06/21**

**Não adiarei**

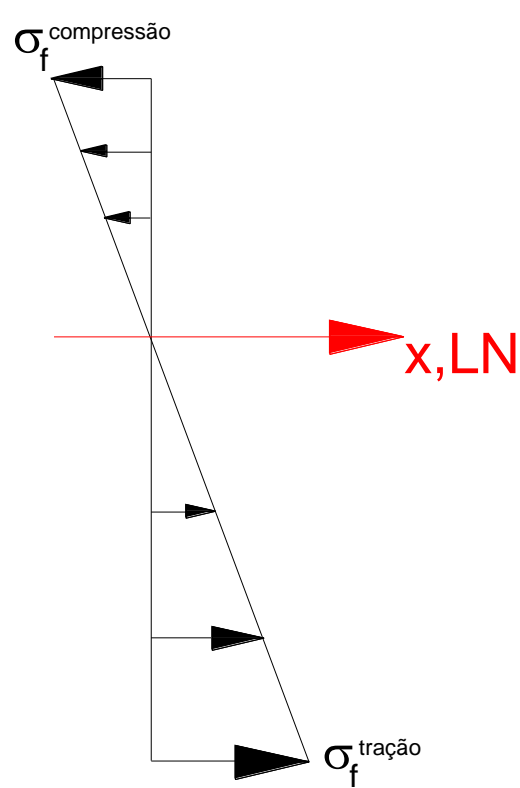
**VER MOODLE**

# FLEXÃO COMPOSTA

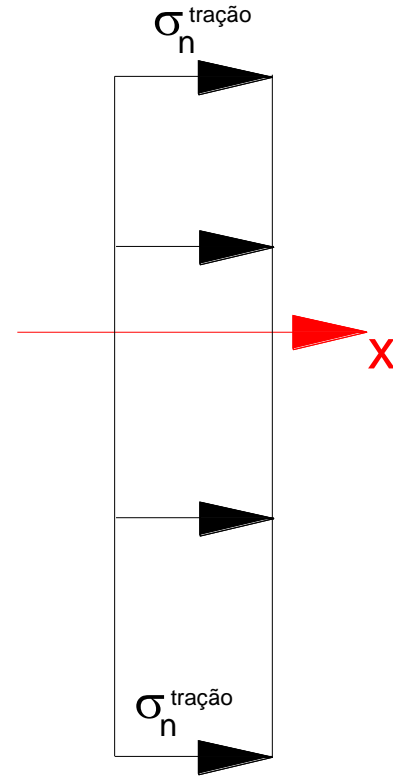


**FLEXÃO PURA + ESFORÇO NORMAL**

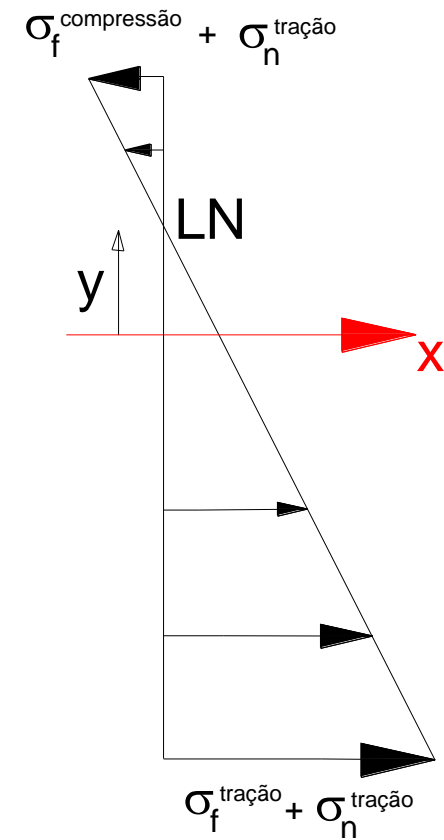
# FLEXÃO COMPOSTA



a) distribuição de tensão  
- efeito de flexão



b) distribuição de tensão - efeito de tração



c) distribuição de tensão  
- efeito de flexão + tração

$$\sigma_x = \frac{M_z}{I_z} \cdot y + \frac{P}{A}$$

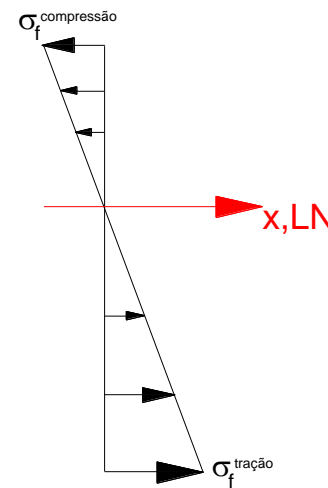
# FLEXÃO COMPOSTA

Duas observações podem ser feitas neste caso:

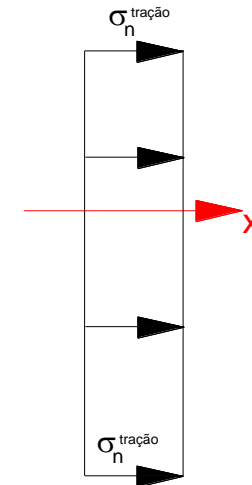
1. Podem-se ter seções totalmente tracionadas ou comprimidas;
2. A posição da LN é alterada, não passando mais pelo CG da seção.

Posição da LN:

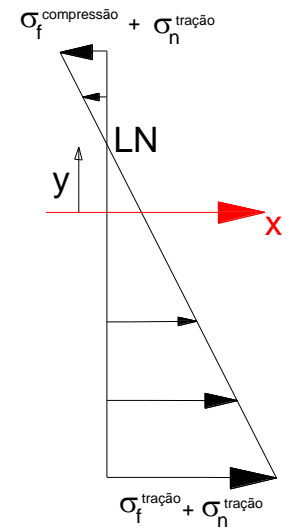
$$\sigma_x = \frac{M_z}{I_z} \cdot y_{LN} + \frac{P}{A} = 0 \rightarrow y_{LN} = -\frac{P I_z}{M_z \cdot A}$$



a) distribuição de tensão - efeito de flexão



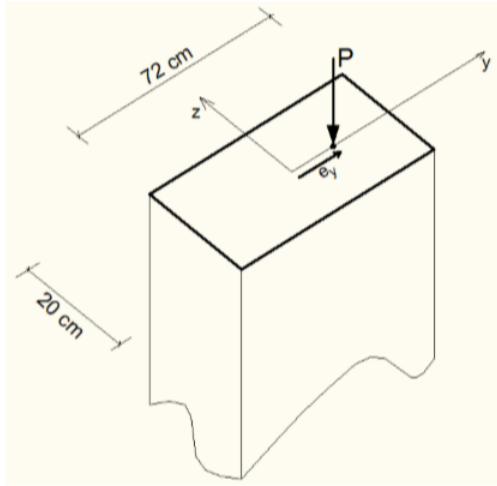
b) distribuição de tensão - efeito de tração



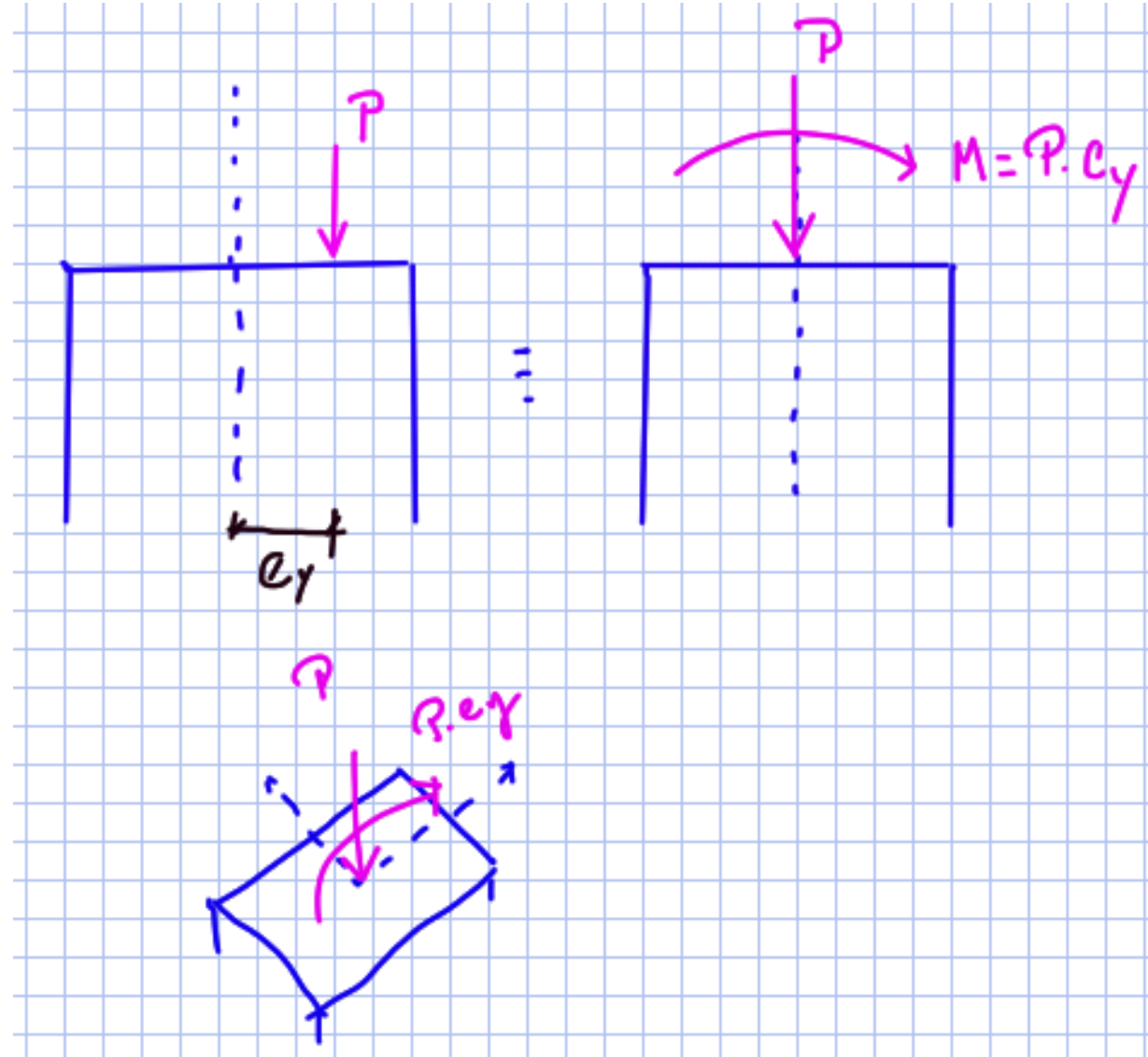
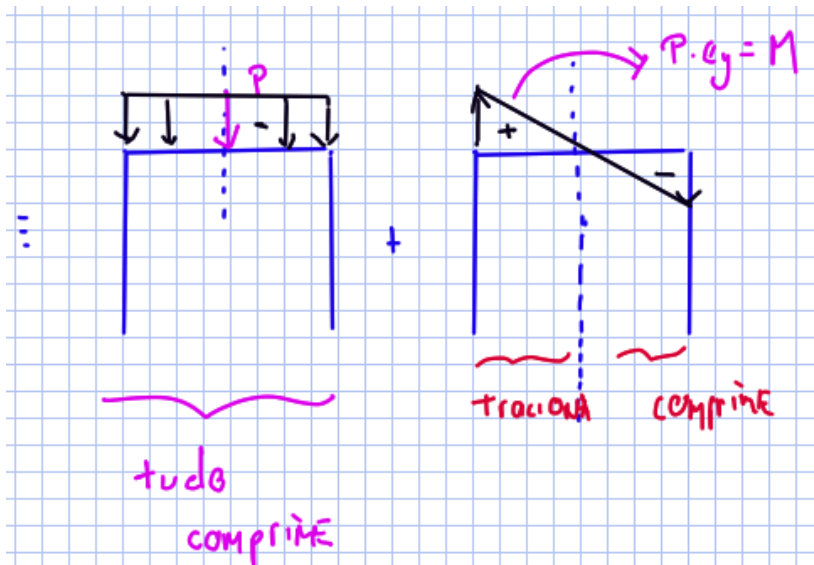
c) distribuição de tensão - efeito de flexão + tração

# EXEMPLO 5

6. Um bloco retangular tem o peso desprezível e está submetido a uma força vertical  $P = 420 \text{ kN}$  e a excentricidade  $e_y = 20 \text{ cm}$ , conforme desenho. Obter o máximo valor de tensão de tração.



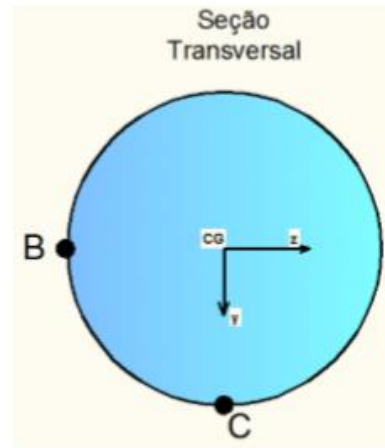
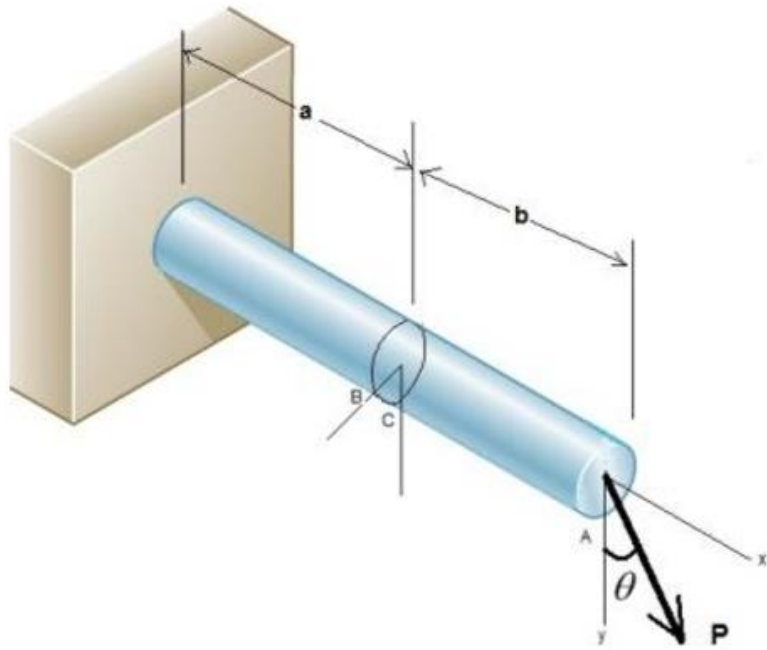
$$\text{Respostas: } \sigma_{\text{tração}} = \frac{(-420) \cdot 0,20 \cdot (-0,36)}{0,2 \cdot 0,72^3} - \frac{420}{0,2 \cdot 0,72} = 1.944,4 \text{ kN/m}^2$$





# EXEMPLO 6

30. A viga engastada e a força  $P = 800 \text{ N}$  estão contidas no plano  $xy$ . A força  $P$  forma um ângulo de  $\theta = 30^\circ$  com  $y$ . A seção transversal é circular maciça com diâmetro de  $40 \text{ mm}$ . Obtenha as tensões normais nos pontos  $B$  e  $C$ , de uma seção que está a  $a = 150 \text{ mm}$  do engaste. Adote  $b = 200 \text{ mm}$ . Obtenha também a tensão cisalhante no ponto  $C$ .



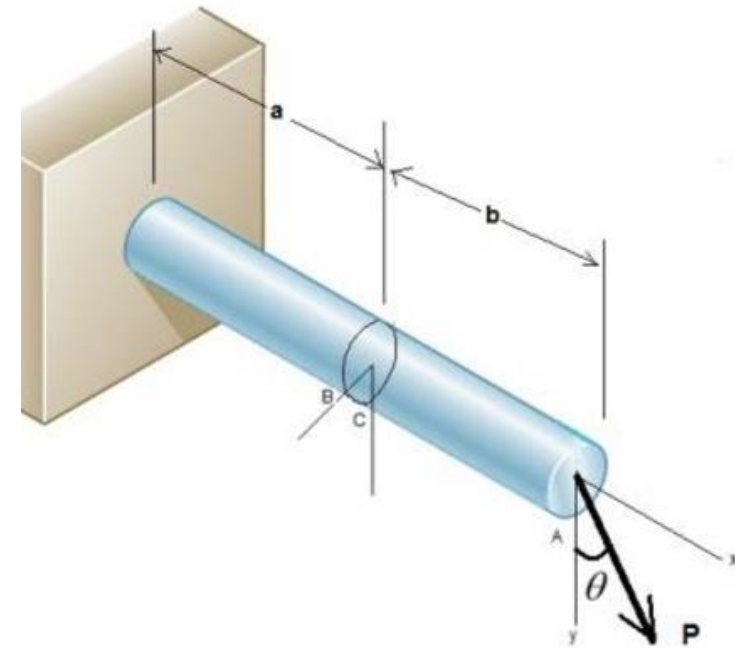
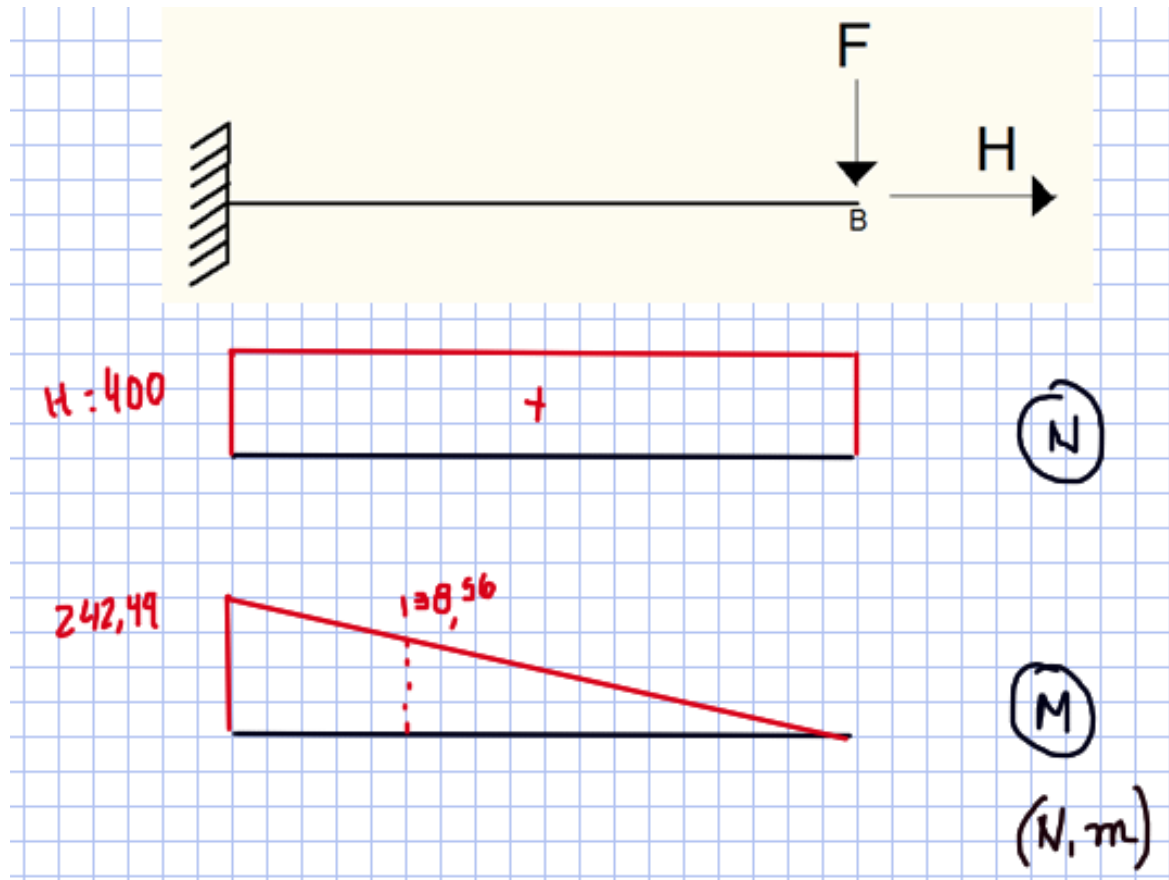
# EXEMPLO 6

$$F = P \cdot \cos(\theta) = 692,82 \text{ N}; H = P \cdot \sin(\theta) = 400 \text{ N}$$

Na seção a 150 mm do engaste, os esforços são:

$$N = 400 \text{ N (T)}$$

$$M_z = - 692,82 \cdot 200 = - 138.564,1 \text{ N.mm (tracionando as fibras superiores da seção em } a=150\text{mm)}$$



# EXEMPLO 6

b) Características geométricas:

Área da seção:  $A = 1.256,64 \text{ mm}^2$

Momento de inércia:  $I_z = \frac{\pi \cdot d^4}{64} = 125.663,71 \text{ mm}^4$

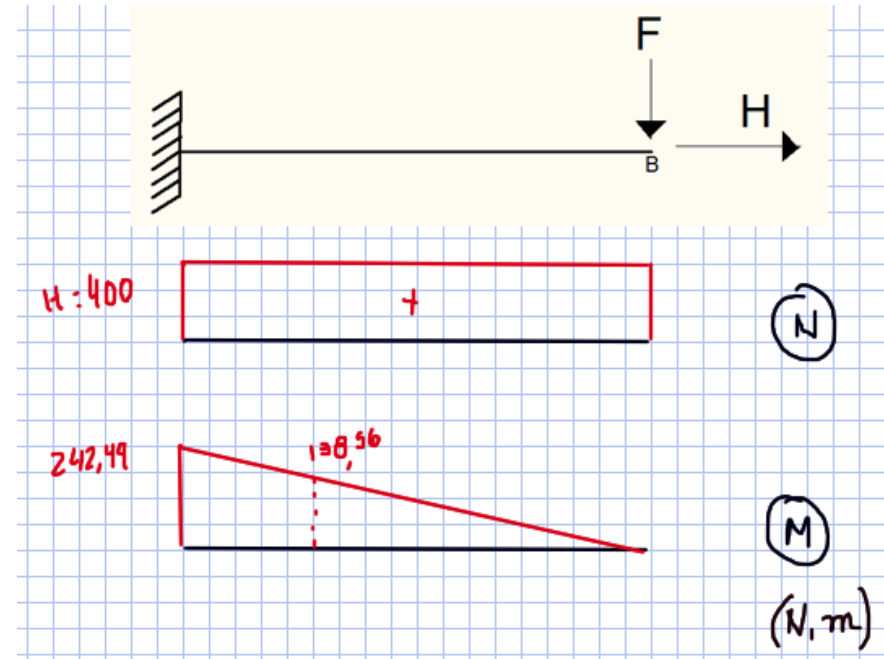
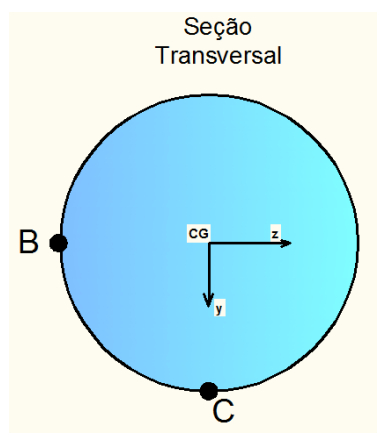
c) Análise de tensões

Fórmula da flexão composta:

$$\sigma = \frac{M_z \cdot y}{I_z} + \frac{N}{A}$$

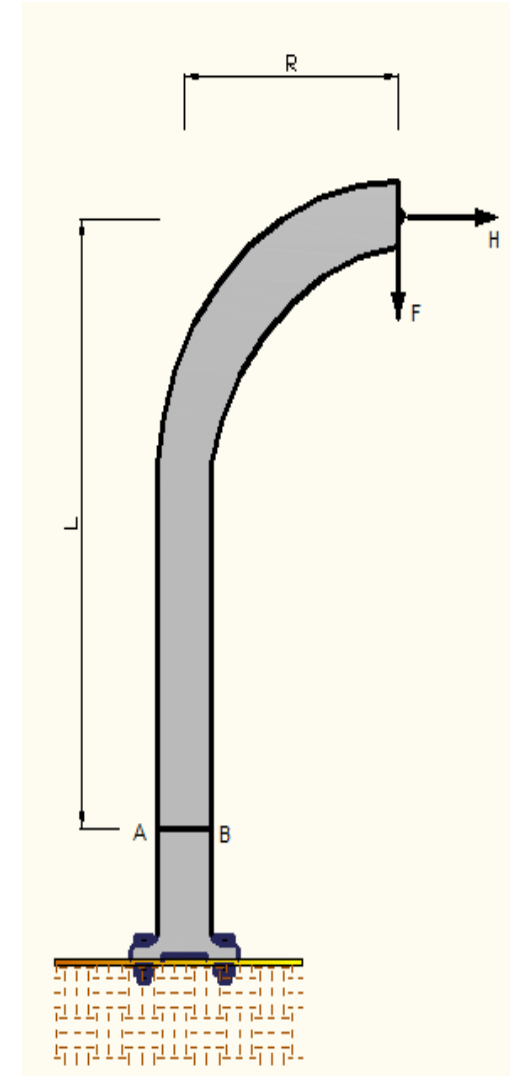
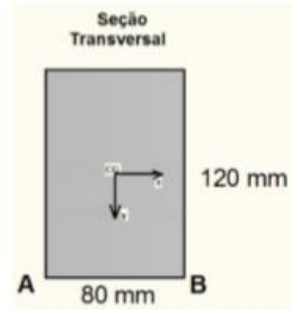
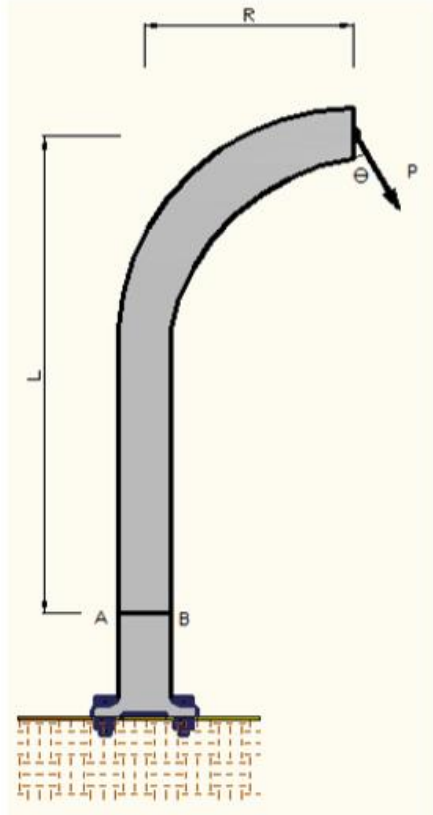
$$\sigma_C = \frac{(-138.564,1) \cdot 20}{125.663,71} + \frac{400}{1.256,64} = -21,7 \text{ N/mm}^2$$

$$\sigma_B = \frac{(-138.564,1) \cdot 0}{125.663,71} + \frac{400}{1.256,64} = 0,32 \text{ N/mm}^2$$



# EXEMPLO 7

19. O poste está engastado no solo e tem uma força concentrada aplicada, devido ao peso dos cabos de energia elétrica, de  $P = 5 \text{ kN}$ , inclinado com a vertical em um ângulo de  $\theta = 30^\circ$  com a vertical. A seção transversal (ST) do poste é um retângulo maciço de dimensões indicadas na figura. A força  $P$  e as cotas das distâncias  $R$  e  $L$  estão com referência ao CG da ST. Obtenha as tensões normais nos pontos A e B da ST indicada. Adote  $R = 1,5 \text{ m}$  e  $L = 2,5 \text{ m}$ .



a) Obter esforços na seção de interesse:

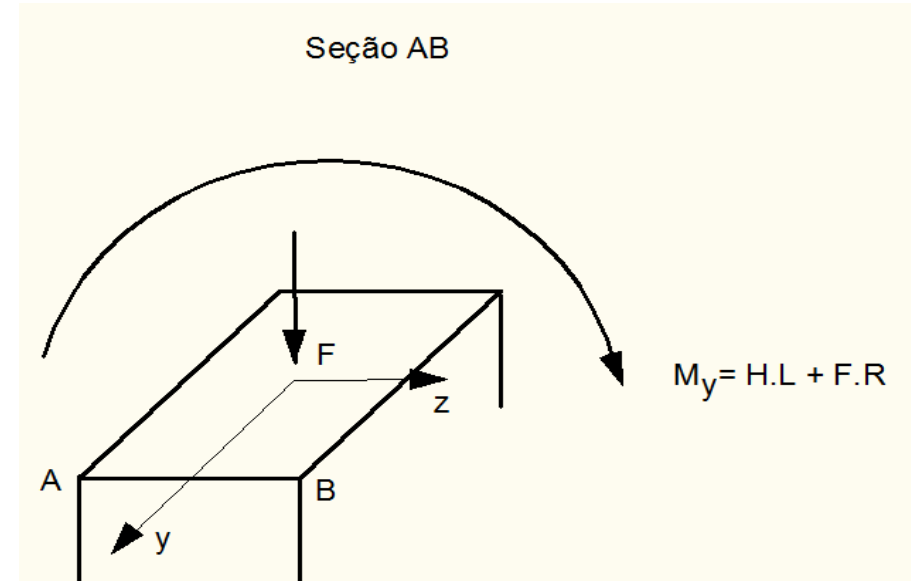
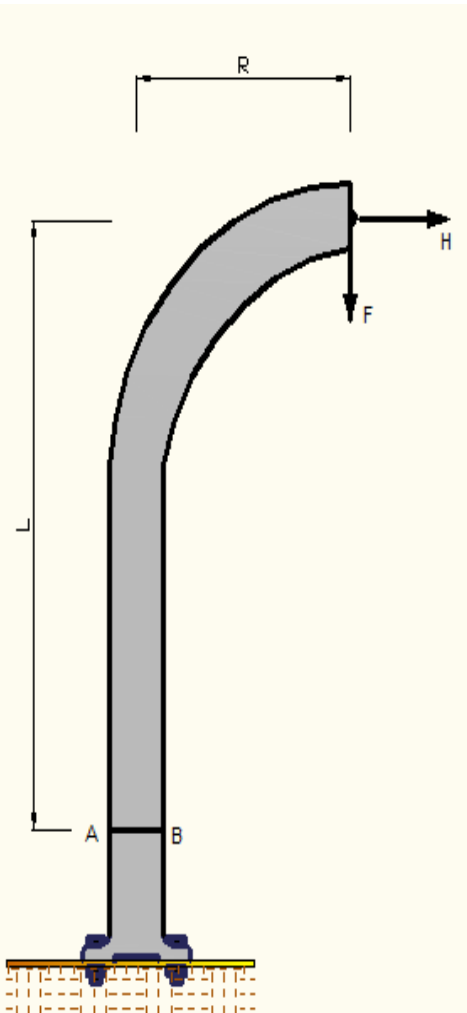
$$F = P \cdot \cos(\theta) = 4,33 \text{ kN} ; H = P \cdot \sin(\theta) = 2,5 \text{ kN}$$

# EXEMPLO 7

$$N = -F = -4,33 \text{ kN}$$

$$M_y = -H.L - F.R = -2,5.2,5 - 4,33.1,5 = -12,75 \text{ kN.m}$$

(tracionando as fibras do lado esquerdo da seção)

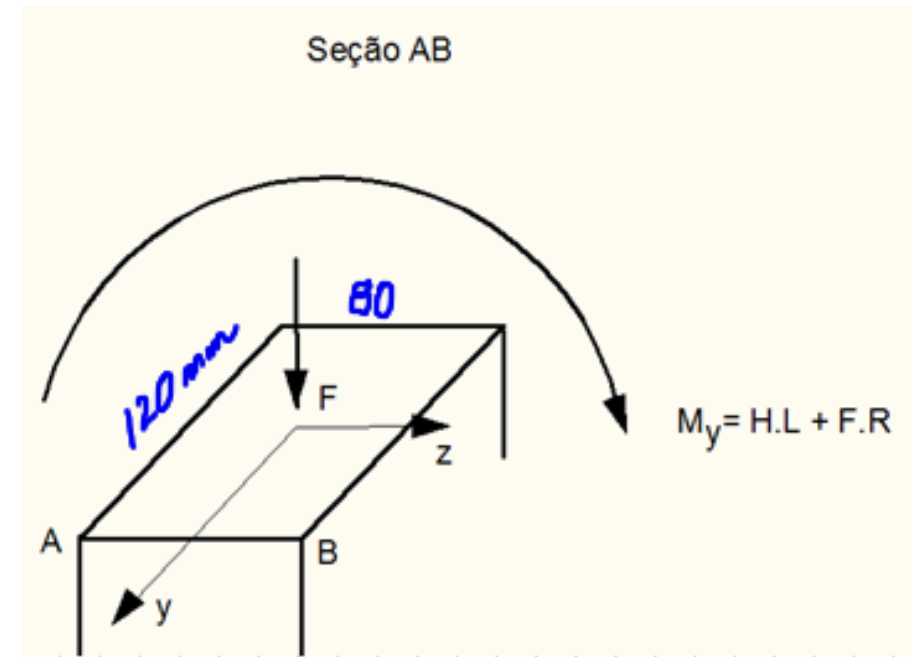


# EXEMPLO 7

b) Características geométricas:

$$\text{Área da seção: } A = 0,08 \cdot 0,12 = 0,0096 \text{ m}^2$$

$$\text{Momento de inércia: } I_y = \frac{b \cdot h^3}{12} = \frac{0,12 \cdot 0,08^3}{12} = 5,12 \cdot 10^{-6} \text{ m}^4$$



# EXEMPLO 7

c) Análise de tensões

Fórmula da flexão composta:  $\sigma = \frac{M_y \cdot z}{I_y} + \frac{N}{A}$

$$N = F = -4,33 \text{ kN}$$

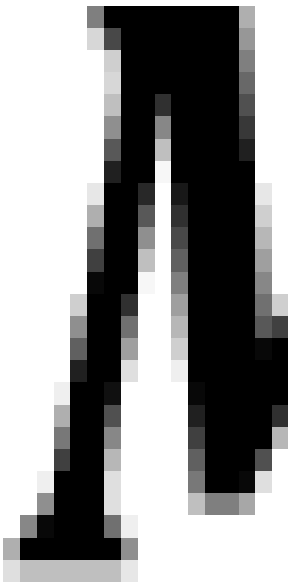
$$M_y = -12,75 \text{ kN.m (tracionando as fibras do lado esquerdo da seção)}$$

$$\sigma_A = \frac{(-12,75) \cdot (-0,04)}{5,12 \cdot 10^{-6}} + \frac{-4,33}{0,0096} = 99.609,4 - 451 = 99.158,4 \text{ kN/m}^2$$

$$\sigma_A = 99,2 \text{ MPa}$$

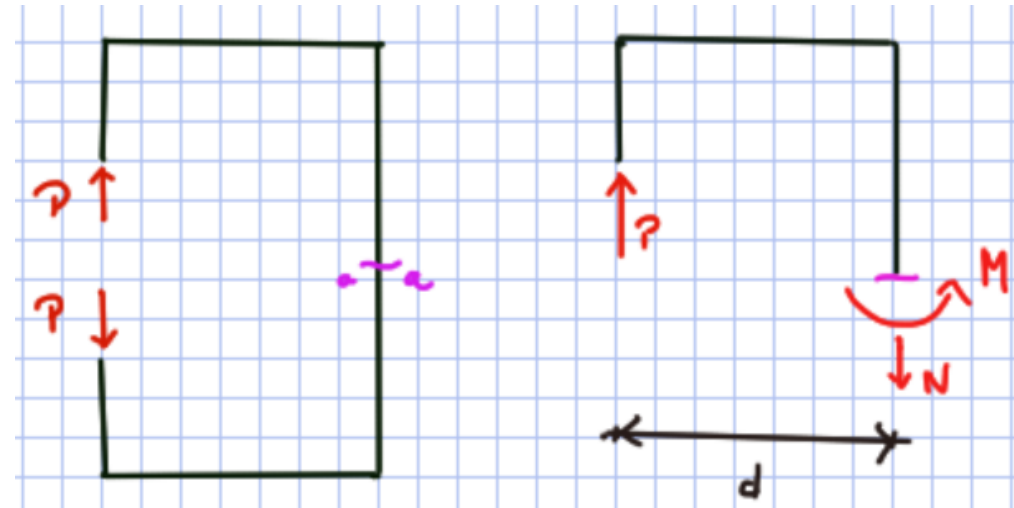
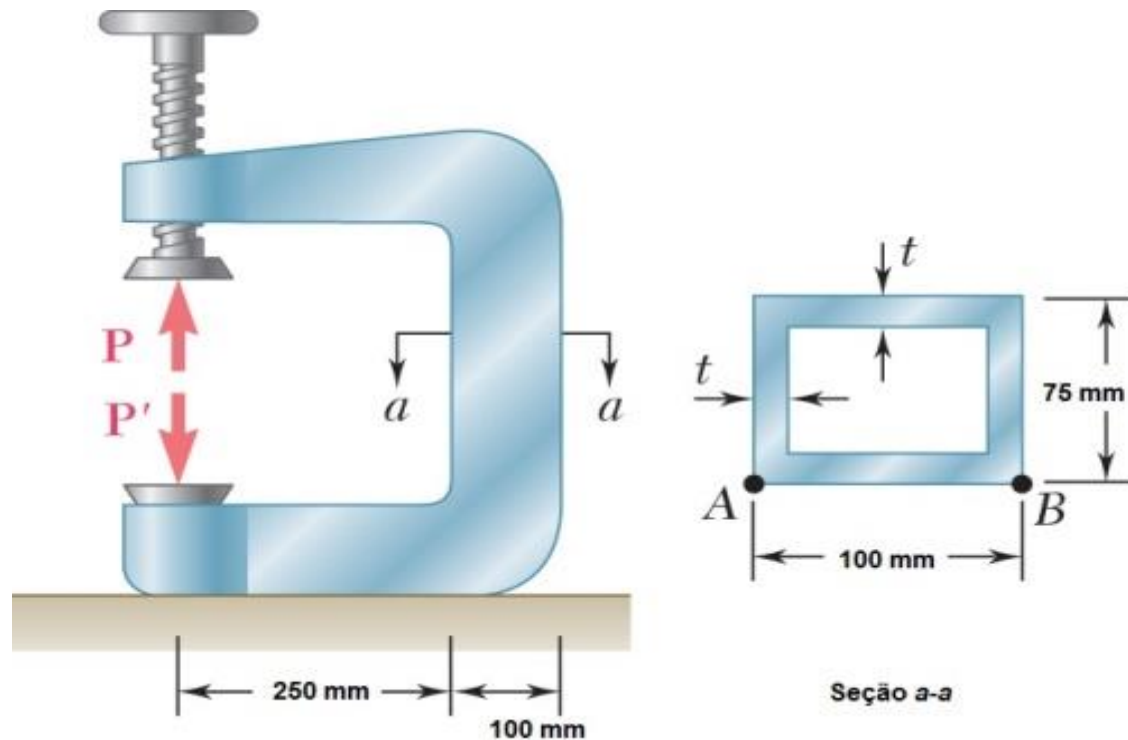
$$\sigma_B = \frac{(-12,75) \cdot (0,04)}{5,12 \cdot 10^{-6}} + \frac{-4,33}{0,0096} = -99.609,4 - 451 = -100.060,4 \text{ kN/m}^2$$

$$\sigma_B = -100,1 \text{ MPa}$$



# EXEMPLO 8

A parte vertical da prensa é composta de um tubo retangular de espessura  $t = 13 \text{ mm}$ . A prensa foi usada para prender blocos de madeira que estavam colados, com força de  $P = 27 \text{ kN}$ , determine a tensão (a) no ponto A e (b) no ponto B.





# EXEMPLO 8

a) Obter esforços na seção de interesse

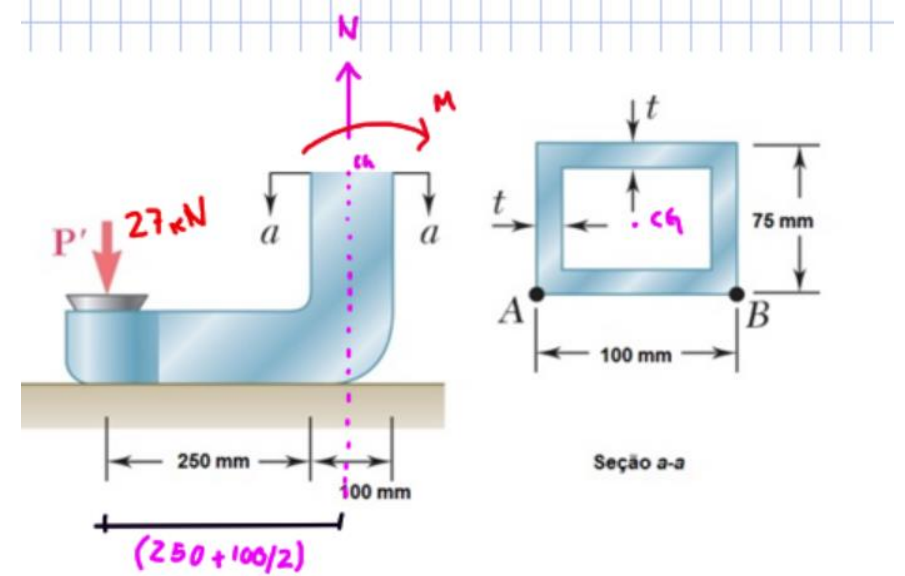
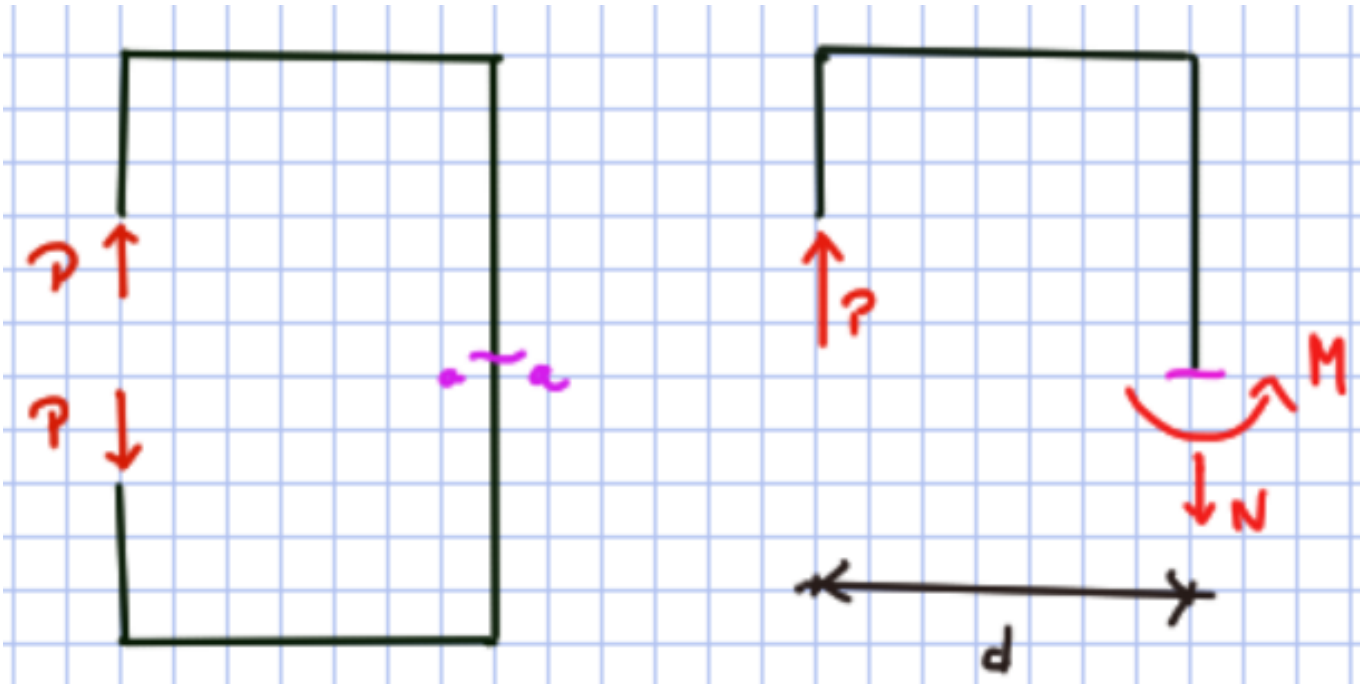
$$N = P = 27 \text{ kN};$$

$$M_y = - P \cdot e \text{ (tracionando as fibras do lado esquerdo da seção)}$$

“e” é a excentricidade entre o ponto de aplicação de P e o CG da seção:

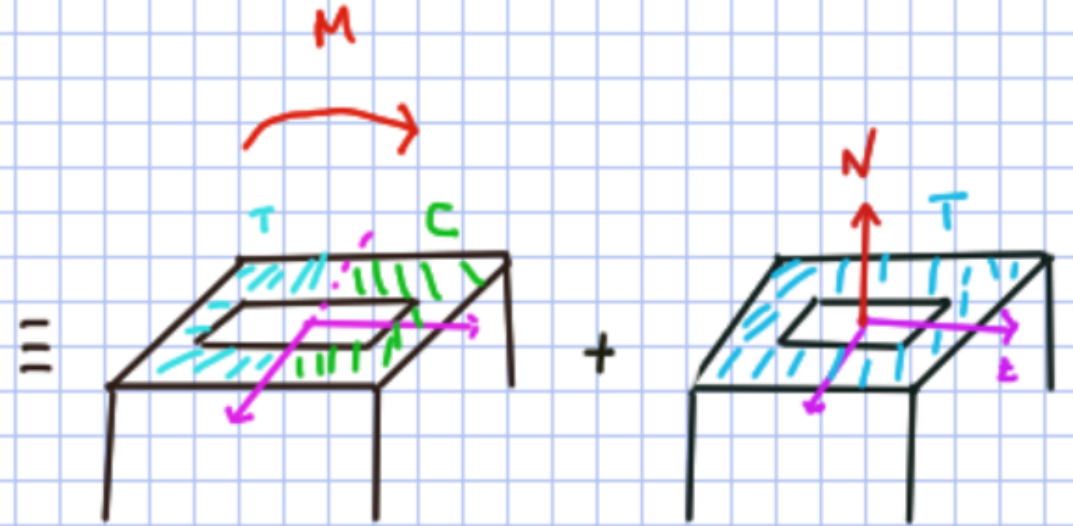
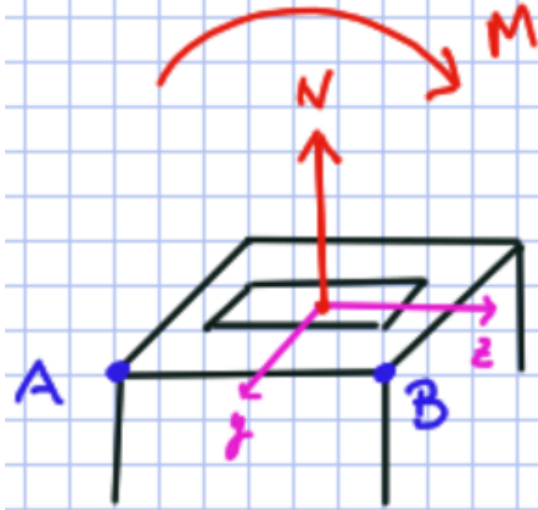
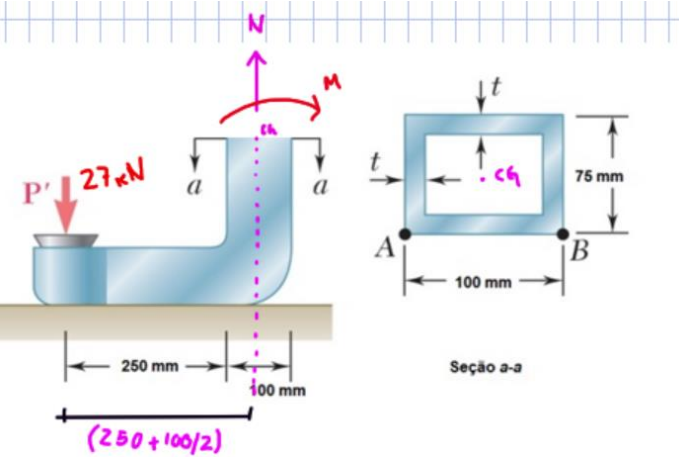
$$e = 250 + 50 = 300 \text{ mm}$$

$$M_y = - 27 \cdot 300 = - 8100 \text{ kN}\cdot\text{mm} \text{ (tracionando as fibras do lado esquerdo da seção)}$$



$$\begin{aligned} \sum M_{CG} = 0 : M &= P' \cdot (250 + 50) \\ M &= 27(300) = 8,1 \cdot 10^3 \text{ kN}\cdot\text{mm} \\ \sum F_y = 0 : N &= P' = P = 27 \text{ kN} \end{aligned}$$

# EXEMPLO 8



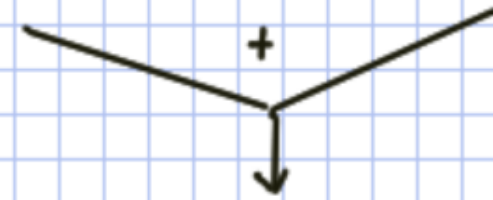
$T$ : TRACIONA

$C$ : COMPRIE

$T$ : TRACIONA

$$\sigma_y = \frac{M \cdot z}{I}$$

$$\sigma_N = \frac{N}{A}$$



$$\sigma = \frac{M \cdot z}{I} + \frac{N}{A}$$

# EXEMPLO 8

b) Características geométricas:

$$\text{Área da seção: } A = 100 \cdot 75 - (100 - 26) \cdot (75 - 26) = 3874 \text{ mm}^2$$

$$\text{Momento de inércia: } I_y = \frac{75 \cdot 100^3}{12} - \frac{(75 - 26) \cdot (100 - 26)^3}{12} = 4.595.335,33 \text{ mm}^4$$

c) Análise de tensões

Fórmula da flexão composta:

$$\sigma = \frac{M_y \cdot z}{I_y} + \frac{N}{A}$$

$$\sigma_A = \frac{(-8.100) \cdot (-50)}{4.595.335,33} + \frac{27}{3.874} = 0,088133 + 0,006970 = 0,095103 \text{ kN/mm}^2$$

$$\sigma_A = 95,1 \text{ MPa}$$

$$\sigma_B = \frac{(-8.100) \cdot (50)}{4.595.335,33} + \frac{27}{3.874} = -0,088133 + 0,006970 = -0,081163 \text{ kN/mm}^2$$

$$\sigma_B = -81,2 \text{ MPa}$$

